具有反向电流保护功能的 TPS737 1A 低压降稳压器

1 特性

- 与 1µF 或更大的陶瓷输出电容器一起工作时保持稳定
- 输入电压范围：2.2V 至 5.5V
- 超低压降电压
  - 传统器件：1A 时典型值为 130mV
  - 新器件：1A 时典型值为 122mV
- 即使使用仅为 1 µ F 的输出电容器，也能实现出色的负载瞬态响应
- NMOS 拓扑可提供低反向漏电流
- 初始精度：1%
- 在线路、负载和温度范围内总精度
  - 传统器件：3%
  - 新器件：1.5%
- 关断模式下典型 I_Q 小于 20nA
- 通过热关断和电流限制实现故障保护
- 提供了多个输出电压版本：
  - 可调输出：1.20V 至 5.5V
  - 使用工厂封装级编程，可提供定制输出

2 应用

- 针对 DSP、FPGA、ASIC 和微处理器的负载点调节
- 针对开关电源的后置稳压
- 便携式和电池供电类设备

3 说明

TPS737 线性低压降 (LDO) 稳压器在电压跟随器配置中使用 NMOS 导通晶体管。该拓扑对输出电容值和等效串联电阻 (ESR) 的敏感度相对较低，从而实现多种负载配置。即使使用 1µF 的小型陶瓷输出电容器，也能实现出色的负载瞬态响应。NMOS 拓扑也可实现超低压降。

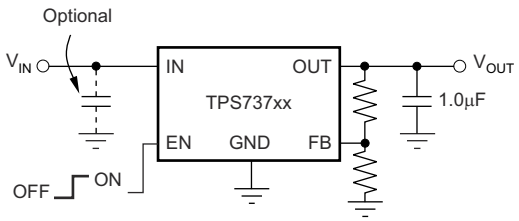
TPS737 利用先进的 BiCMOS 工艺实现高精度，同时提供超低压降电压和低接地引脚电流。采用全新制造流程的器件拥有最新设计，新器件采用 TI 最新工艺技术。未启用时，电流消耗小于 20nA，适用于便携式应用。该器件受到热关断和折返电流限制的保护。

对于需要更高输出电压精度的应用，请考虑 TI 的 TPS7A37 1% 总精度、1A 低压降稳压器。

封装信息

器件型号	封装(1)	封装尺寸(2)
TPS737	DRB（VSON，8）	3mm × 3mm
	DCQ（SOT-223，6）	6.5mm × 7.06mm
	DRV（WSON，6）	2mm × 2mm

(1) 有关更多信息，请参阅 *机械、封装和可订购信息*。
(2) 封装尺寸（长 × 宽）为标称值，并包括引脚（如适用）。



典型应用电路

内容

1 特性.....1
2 应用.....1
3 说明.....1
4 引脚配置和功能.....3
5 规格.....4
5.1 绝对最大额定值.....4
5.2 ESD 等级.....4
5.3 建议运行条件.....4
5.4 热性能信息.....4
5.5 热性能信息.....5
5.6 电气特性.....6
5.7 典型特性.....8
6 详细说明.....17
6.1 概述.....17
6.2 功能方框图.....17
6.3 特性说明.....18
6.4 器件功能模式.....19
7 应用和实施.....20
7.1 应用信息.....20
7.2 典型应用.....20
7.3 最佳设计实践.....23
7.4 电源相关建议.....23
7.5 布局.....23
8 器件和文档支持.....29
8.1 器件支持.....29
8.2 文档支持.....29
8.3 接收文档更新通知.....29
8.4 支持资源.....29
8.5 商标.....29
8.6 静电放电警告.....30
8.7 术语表.....30
9 修订历史记录.....30
10 机械、封装和可订购信息.....30

Copyright © 2025 Texas Instruments Incorporated

4 引脚配置和功能

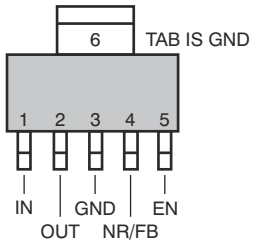


图 4-1. DCQ 封装，6 引脚 SOT-223（顶视图）

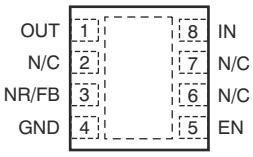
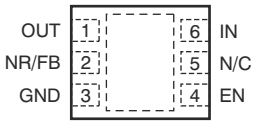


图 4-2. DRB 封装，8 引脚 VSON（顶视图）



A. 功率耗散可限制运行范围。查阅*热性能信息*表。

图 4-3. DRV 封装(A)，6 引脚 WSON（顶视图）

表 4-1. 引脚功能

引脚				类型(1)	说明
名称	SOT-223	VSON	WSON		
IN	1	8	6	I	未稳压的输入电源
GND	3、6	4，焊盘	3，焊盘	—	接地
EN	5	5	4	I	驱动使能引脚 (EN) 为高电平打开稳压器。将这个引脚驱动为低电平来将稳压器置于关断模式。更多详细信息，请参阅*使能引脚和关断*部分。EN 不得悬空，不使用时可以连接到 IN。
NR	4	3	2	—	只适用于固定电压版本 — 将外部电容器连接到该引脚来绕过内部带隙生成的噪声，同时使输出噪声降低至极低的水平。
FB	4	3	2	I	只适用于可调电压版本 - 这是到控制环路误差放大器的输入，并且用于设定器件的输出电压。
OUT	2	1	1	O	稳压器输出。为确保稳定性，需要使用任意类型的 1.0 µ F 或更大的电容器。
NC	—	2、6、7	5	—	未连接

(1) I = 输入；O = 输出

Copyright © 2025 Texas Instruments Incorporated

5 规格

5.1 绝对最大额定值

在工作结温范围内测得（除非另有说明）(1)

		最小值	最大值	单位
电压	输入，V_{IN}	-0.3	6	V
	使能，V_{EN}	-0.3	6	
	输出，V_{OUT}	-0.3	5.5	
	V_{NR}、V_{FB}	-0.3	6	
电流	最大输出，I_{OUT}	受内部限制		
输出短路持续时间		未确定		
持续总功率耗散	P_{DISS}	请参阅*热性能信息*		
温度	工作结温，T_J	-55	150	°C
	贮存温度，T_{stg}	-65	150	

(1) 在*绝对最大额定值*范围外运行可能对器件造成永久损坏。*绝对最大额定值* 并不表示器件在这些条件下或在*建议的工作条件* 以外的任何其他条件下能够正常运行。如果超出 *建议运行条件* 但在 *绝对最大额定值* 范围内使用，器件可能不会完全正常运行，这可能影响器件的可靠性、功能和性能并缩短器件寿命。

5.2 ESD 等级

			值	单位
$V_{(ESD)}$	静电放电	人体放电模型 (HBM)，符合 ANSI/ESDA/JEDEC JS-001 标准，所有引脚(1)	±2000	V
		充电器件模型 (CDM)，符合 JEDEC 规范 JESD22-C101，所有引脚(2)	±500	

(1) JEDEC 文档 JEP155 指出：500V HBM 时能够在标准 ESD 控制流程下安全生产。
(2) JEDEC 文档 JEP157 指出：250V CDM 时能够在标准 ESD 控制流程下安全生产。

5.3 建议运行条件

在工作结温范围内测得（除非另有说明）

		最小值	标称值	最大值	单位
V_{IN}	输入电源电压	2.2		5.5	V
I_{OUT}	输出电流	0		1	A
T_J	工作结温	-40		125	°C

5.4 热性能信息

热指标(1)		TPS737 新器件			单位
		DRB (VSON)	DCQ (SOT-223)	DRV (WSON)	
		8 引脚	6 引脚	6 引脚	
$R_{\theta JA}$	结至环境热阻	49.4	76	67.3	°C/W
$R_{\theta JC(top)}$	结至外壳（顶部）热阻	76.6	46.6	100.8	°C/W
$R_{\theta JB}$	结至电路板热阻	22.0	18.1	33.7	°C/W
ψ_{JT}	结至顶部特征参数	3.8	8.6	4.4	°C/W
ψ_{JB}	结至电路板特征参数	22.0	17.6	33.8	°C/W
$R_{\theta JC(bot)}$	结至外壳（底部）热阻	3.8	不适用	4.7	°C/W

(1) 有关新旧热指标的更多信息，请参阅半导体和 IC 封装热指标应用手册。

Copyright © 2025 Texas Instruments Incorporated

5.5 热性能信息

热指标(1)		TPS737 传统器件(2)			单位
		DRB (VSON)	DCQ (SOT-223)	DRV (WSON)(3)	
		8 引脚	6 引脚	5 引脚	
$R_{\theta JA}$	结至环境热阻(4)	49.5	53.1	67.2	°C/W
$R_{\theta JC(top)}$	结至外壳（顶部）热阻(5)	58.9	35.2	87.6	°C/W
$R_{\theta JB}$	结到电路板热阻(6)	25.1	7.8	36.8	°C/W
ψ_{JT}	结到顶部的表征参数(7)	1.7	2.9	1.8	°C/W
ψ_{JB}	结到电路板的表征参数(8)	25.2	7.7	37.2	°C/W
$R_{\theta JC(bot)}$	结到芯片外壳（底部）热阻(9)	8.6	不适用	7.7	°C/W

(1) 有关新旧热指标的更多信息，请参阅半导体和 IC 封装热指标应用手册。
(2) DRB、DCQ 和 DRV 封装的热数据是根据 JESD51 系列中指定的 JEDEC 标准方法进行热仿真得出的。仿真时使用了以下假设：
(a) i. DRB：外露焊盘通过 2x2 散热过孔阵列连接到 PCB 接地层。
ii.DCQ：外露焊盘通过 3x2 散热过孔阵列连接到 PCB 接地层。
iii.DRV：外露焊盘通过 2x2 散热过孔阵列连接到 PCB 接地层。由于散热焊盘的尺寸限制，使用了不符合 JEDEC 标准的 0.8mm 间距阵列。
(b) 顶部覆铜层具有详细的覆铜布线图案。假设底部铜层的导热率为铜的 20%，表示铜覆盖率为 20%。
(c) 这些数据生成时只有一个器件位于 JEDEC 高 K (2s2p) 电路板的中心，覆铜区为 3 英寸 × 3 英寸。要了解覆铜区对热性能的影响，请参阅本数据表的*功率耗散*和*估算结温*部分。
(3) 功率耗散可限制运行范围。
(4) 在 JESD51-2a 描述的环境中，按照 JESD51-7 的规定，在一个 JEDEC 标准高 K 电路板上进行仿真，从而获得自然对流条件下的结至环境热阻抗。
(5) 通过在封装顶部模拟一个冷板测试来获得结至芯片外壳（顶部）的热阻。不存在特定的 JEDEC 标准测试，但可在 ANSI SEMI 标准 G30-88 中找到内容接近的说明。
(6) 结至板热阻，可按照 JESD51-8 中的说明在使用环形冷板夹具来控制 PCB 温度的环境中进行仿真来获得。
(7) 结至顶部特征参数 ψ_{JT} 估算器件在实际系统中的结温，可通过 JESD51-2a（第 6 节和第 7 节）介绍的步骤从获得 $R_{\theta JA}$ 的仿真数据中获取该温度。
(8) 结至电路板特征参数 ψ_{JB} 估算器件在实际系统中的结温，可通过 JESD51-2a（第 6 节和第 7 节）介绍的步骤从获得 $R_{\theta JA}$ 的仿真数据中获取该温度。
(9) 通过在外露（电源）焊盘上进行冷板测试仿真来获得结至芯片外壳（底部）热阻。不存在特定的 JEDEC 标准测试，但可在 ANSI SEMI 标准 G30-88 中找到内容接近的说明。

Copyright © 2025 Texas Instruments Incorporated

5.6 电气特性

在工作温度范围（T_J = –40°C 至 125°C）、V_{IN} = $V_{OUT(nom)}$ + 1V(1) 、I_{OUT} = 10mA、V_{EN} = 2.2V 且 C_{OUT} = 2.2µF 条件下（除非另有说明）。典型值为 T_J = 25°C 条件下的值。

参数		测试条件		最小值	典型值	最大值	单位
V_{IN}	输入电压范围(1) (2)			2.2		5.5	V
V_{FB}	内部基准（DCQ 封装）	T_J = 25°C		1.198	1.204	1.21	V
V_{FB}	内部基准（DRB 和 DRV 封装）	T_J = 25°C		1.192	1.204	1.216	V
V_{OUT}	输出电压范围 (TPS73701)(3)			V_{FB}		5.5 - V_{DO}	V
	准确度(1) (4)	标称值	T_J = 25°C	-1		1	%
			5.36V < V_{IN} < 5.5V，V_{OUT} = 5.08V，10mA < I_{OUT} < 800mA，–40°C < T_J < 85°C，TPS73701，旧版器件 (DCQ)	-2		2	
		在 V_{IN}、I_{OUT} 且 T 条件下	V_{OUT} + 0.5V ≤ V_{IN} ≤ 5.5V；10mA ≤ I_{OUT} ≤ 1A，传统器件	-3	±0.5	3	
			V_{OUT} + 0.5V ≤ V_{IN} ≤ 5.5V；10mA ≤ I_{OUT} ≤ 1A，新器件	-1.5	±0.5	1.5	
$\Delta V_{OUT(\Delta VIN)}$	线性调整率 (1)	$V_{OUT(nom)}$ + 0.5V ≤ V_{IN} ≤ 5.5V			0.01		%/V
$\Delta V_{OUT(\Delta IOUT)}$	负载调整率	1mA ≤ I_{OUT} ≤ 1A			0.002		%/mA
$\Delta V_{OUT(\Delta IOUT)}$	负载调整率	10mA ≤ I_{OUT} ≤ 1A			0.0005		%/mA
V_{DO}	压降电压(5) (V_{IN} = $V_{OUT(nom)}$ - 0.1V)	I_{OUT} = 1A，传统器件			130	500	mV
V_{DO}	压降电压(5) (V_{IN} = $V_{OUT(nom)}$ - 0.1V)	I_{OUT} = 1A，新器件			122	250	mV
$Z_{O(DO)}$	压降中的输出阻抗	2.2V ≤ V_{IN} ≤ V_{OUT} + V_{DO}			0.25		Ω
I_{CL}	输出电流限制	V_{OUT} = 0.9 × $V_{OUT(nom)}$		1.05	1.6	2.2	A
I_{SC}	短路电流	V_{OUT} = 0V，传统器件			450		mA
I_{SC}	短路电流	V_{OUT} = 0V，新器件			510		mA
I_{REV}	反向漏电流(6) (-I_{IN})	V_{EN} ≤ 0.5V，0V ≤ V_{IN} ≤ V_{OUT}			0.1		µA
I_{GND}	接地引脚电流	I_{OUT} = 10mA (I_Q)			400		µA
I_{GND}	接地引脚电流	I_{OUT} = 1A，传统器件			1300		µA
I_{GND}	接地引脚电流	I_{OUT} = 1A，新器件			880		µA
I_{SHDN}	关断电流 (I_{GND})	V_{EN} ≤ 0.5V，V_{OUT} ≤ V_{IN} ≤ 5.5V			20		nA
I_{FB}	反馈引脚电流 (TPS73701)				0.1	0.6	µA
PSRR	电源抑制比（纹波抑制）	f = 100Hz，I_{OUT} = 1A			58		dB
		f = 10kHz，I_{OUT} = 1A			37		
V_N	输出噪声电压，BW = 10Hz 至 100kHz	C_{OUT} = 10µF			27 × V_{OUT}		μV_{RMS}
t_{STR}	启动时间	V_{OUT} = 3V，R_L = 30Ω，C_{OUT} = 1µF，传统器件			600		µs
t_{STR}	启动时间	V_{OUT} = 3V，R_L = 30Ω，C_{OUT} = 1µF，新器件			431		µs
$V_{EN(high)}$	EN 引脚高电平（已使能）			1.7		V_{IN}	V
$V_{EN(low)}$	EN 引脚低电平（关断）			0		0.5	V
I_{EN}	使能引脚电流（已使能）	V_{EN} = 5.5V			20		nA
T_{SD}	热关断温度	关断，温度升高			160		°C
		复位，温度降低			140		
T_J	工作结温			-40		125	℃

(1) 最小 V_{IN} = V_{OUT} + V_{DO} 或者 2.2V，以较大者为准。

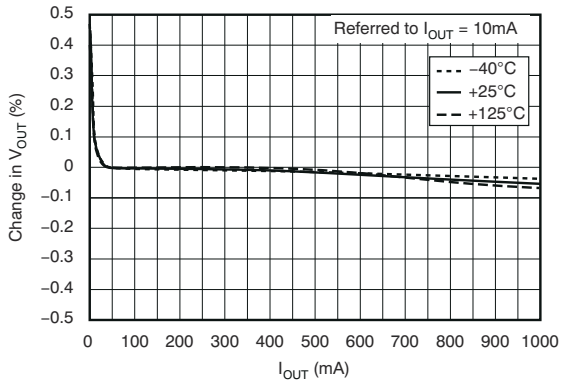
Copyright © 2025 Texas Instruments Incorporated

(2) 对于 $V_{OUT(nom)}$ < 1.6V，当 V_{IN} ≤ 1.6V 时，输出锁定到 V_{IN} 并可能导致输出上出现破坏性过压情况。为避免这种情况，请先禁用器件，然后再将 V_{IN} 关断。（仅限传统器件）
(3) TPS73701 在 V_{OUT} = 1.2V 条件下进行测试。
(4) 外部电阻器的耐受电压不包括在这个技术规范中。
(5) 针对输出版本，不在 $V_{OUT(nom)}$ < 2.3V 时测量 V_{DO}，这是因为最小 V_{IN} = 2.2V。
(6) 只适用于固定电压版本；更多信息请参考*应用信息*部分。

Copyright © 2025 Texas Instruments Incorporated

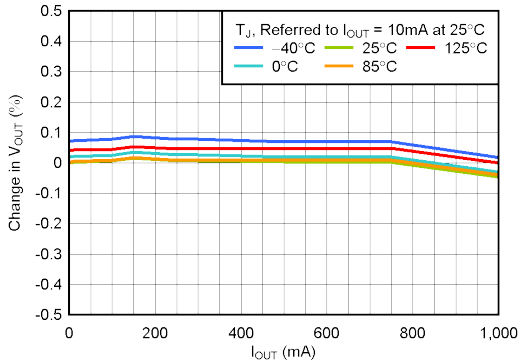
5.7 典型特性

适用于所有电压版本，在 T_J = 25°C、V_{IN} = $V_{OUT(nom)}$ + 1V、I_{OUT} = 10mA、V_{EN} = 2.2V 且 C_{OUT} = 2.2 µ F 条件下（除非另有说明）



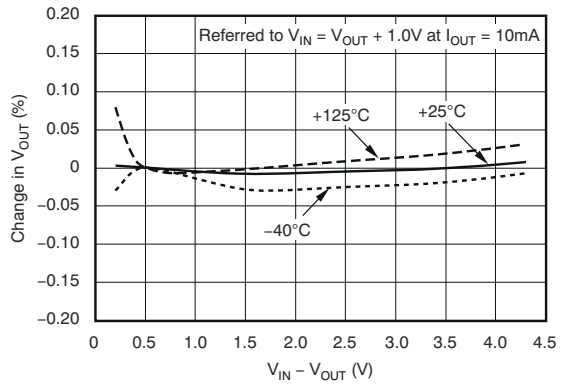
传统器件

图 5-1. 负载调整率



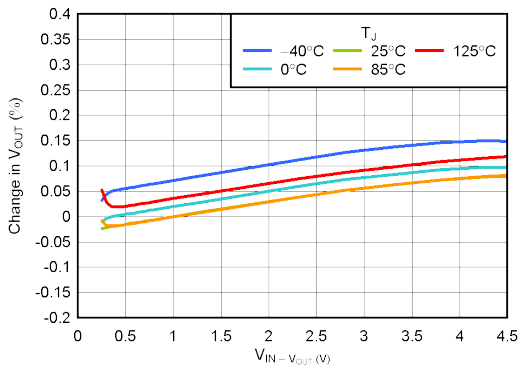
新器件

图 5-2. 负载调整率



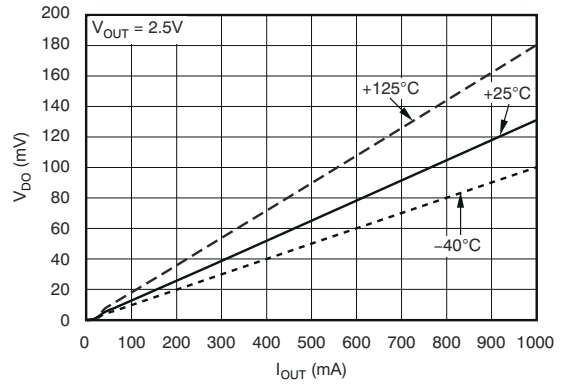
传统器件

图 5-3. 线性调整率



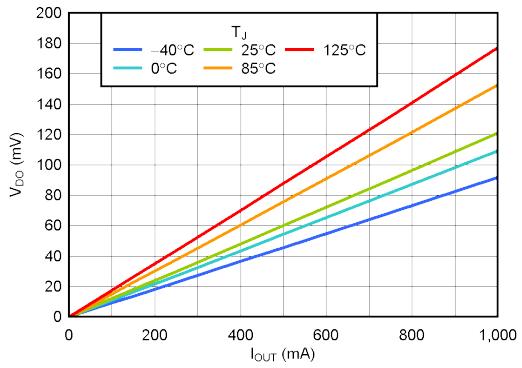
新器件

图 5-4. 线性调整率



传统器件

图 5-5. 压降电压与输出电流间的关系



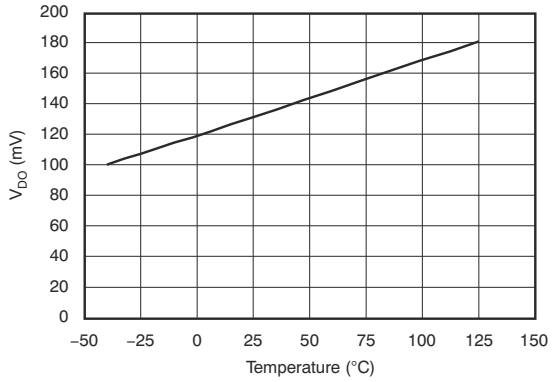
新器件

图 5-6. 压降电压与输出电流间的关系

Copyright © 2025 Texas Instruments Incorporated

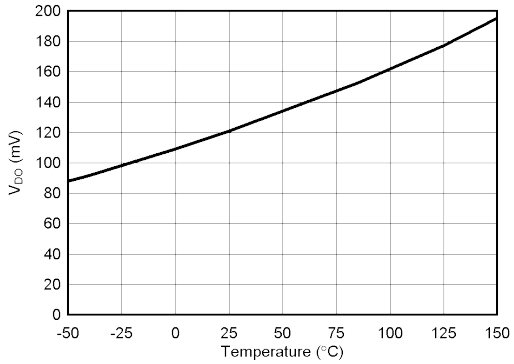
5.7 典型特性（续）

适用于所有电压版本，在 T_J = 25°C、V_{IN} = $V_{OUT(nom)}$ + 1V、I_{OUT} = 10mA、V_{EN} = 2.2V 且 C_{OUT} = 2.2 µ F 条件下（除非另有说明）



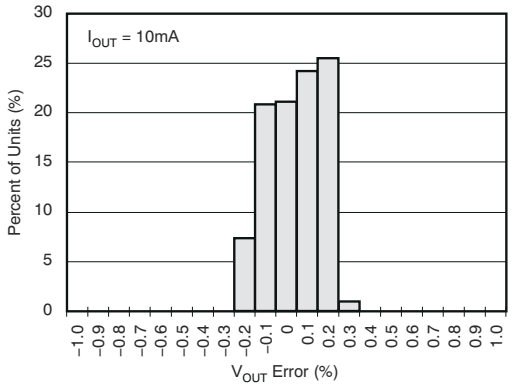
传统器件

图 5-7. 压降电压与温度间的关系



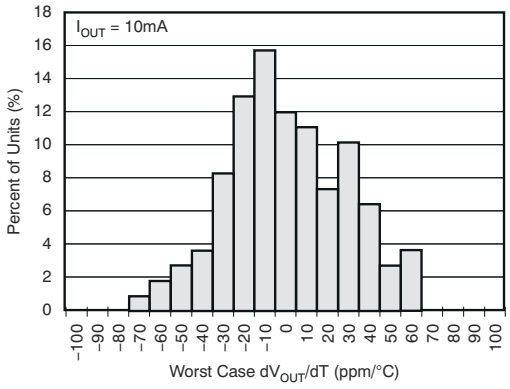
新器件

图 5-8. 压降电压与温度间的关系



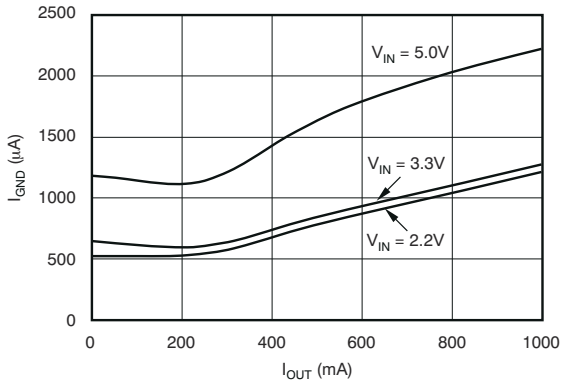
传统器件

图 5-9. 输出电压柱状图



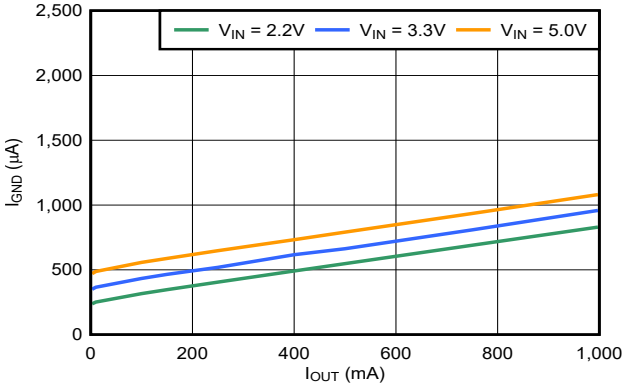
传统器件

图 5-10. 输出电压漂移直方图



传统器件

图 5-11. 接地引脚电流与输出电流间的关系



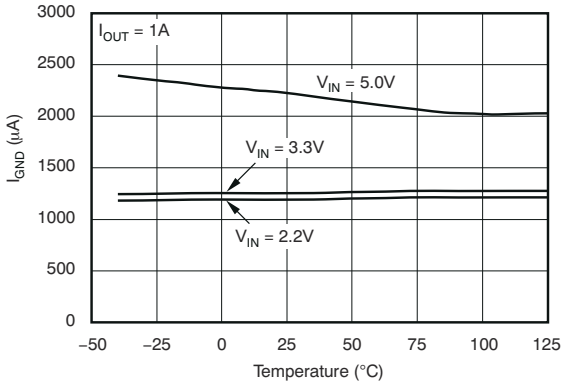
新器件

图 5-12. 接地引脚电流与输出电流间的关系

Copyright © 2025 Texas Instruments Incorporated

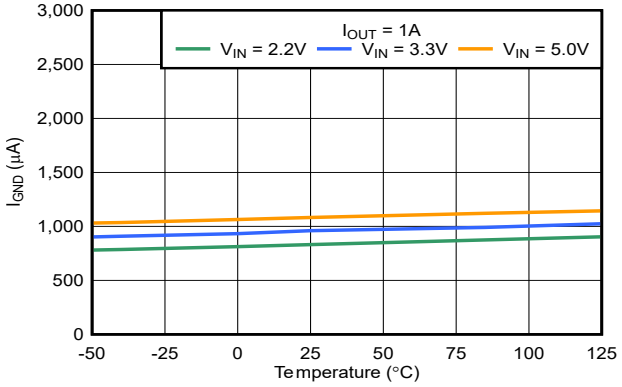
5.7 典型特性（续）

适用于所有电压版本，在 T_J = 25°C、V_{IN} = $V_{OUT(nom)}$ + 1V、I_{OUT} = 10mA、V_{EN} = 2.2V 且 C_{OUT} = 2.2 µF 条件下（除非另有说明）



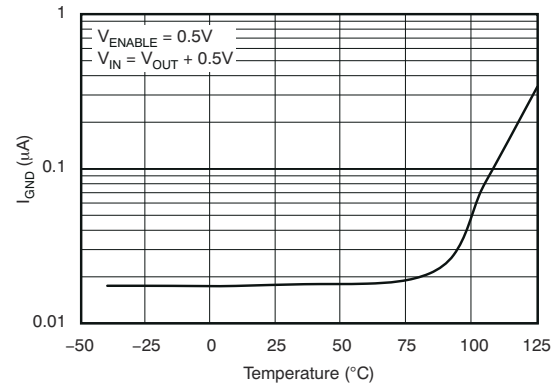
传统器件

图 5-13. 接地引脚电流与温度间的关系



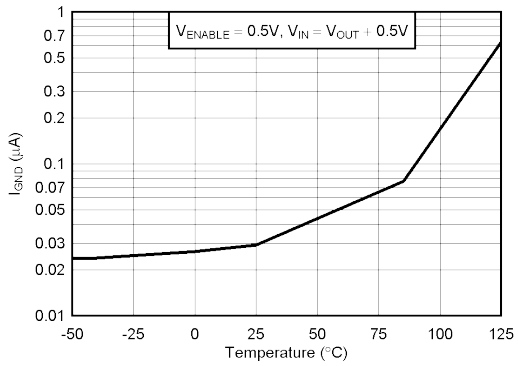
新器件

图 5-14. 接地引脚电流与温度间的关系



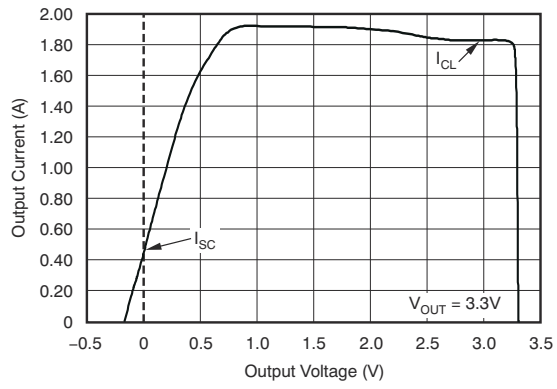
传统器件

图 5-15. 关断时的接地引脚电流与温度间的关系



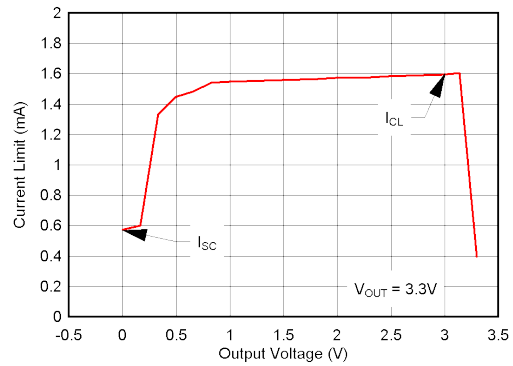
新器件

图 5-16. 关断时的接地引脚电流与温度间的关系



传统器件

图 5-17. 电流限值与 V_{OUT}（折返）间的关系



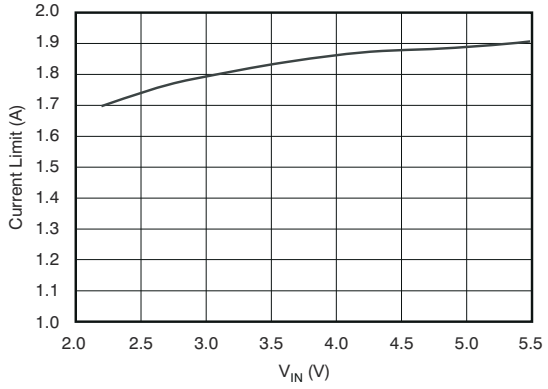
新器件

图 5-18. 电流限值与 V_{OUT}（折返）间的关系

Copyright © 2025 Texas Instruments Incorporated

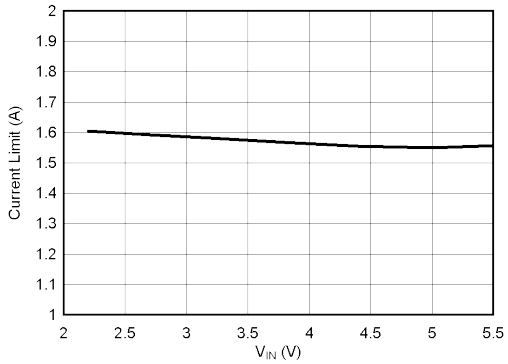
5.7 典型特性（续）

适用于所有电压版本，在 T_J = 25°C、V_{IN} = $V_{OUT(nom)}$ + 1V、I_{OUT} = 10mA、V_{EN} = 2.2V 且 C_{OUT} = 2.2 µF 条件下（除非另有说明）



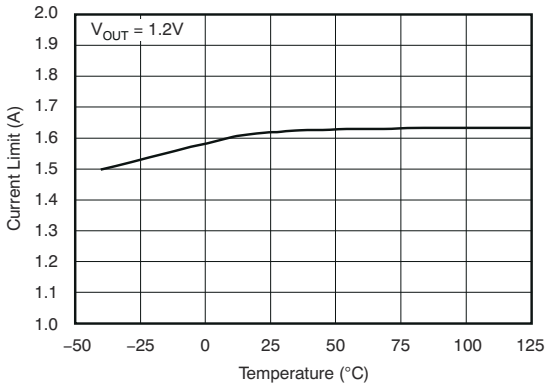
传统器件

图 5-19. 电流限值与 V_{IN} 间的关系



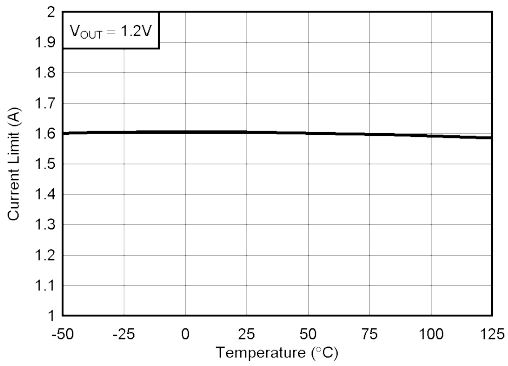
新器件

图 5-20. 电流限值与 V_{IN} 间的关系



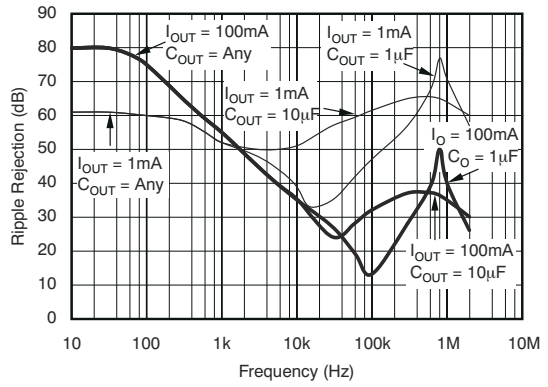
传统器件

图 5-21. 电流限制与温度间的关系



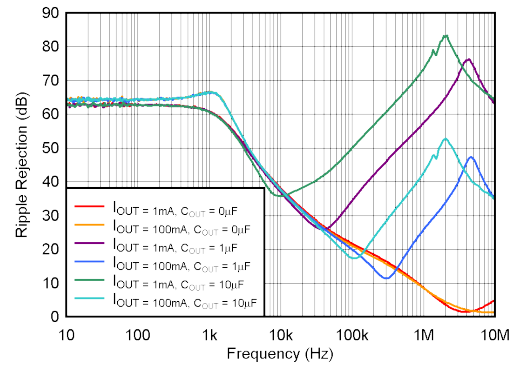
新器件

图 5-22. 电流限制与温度间的关系



传统器件

图 5-23. PSRR（纹波抑制）与频率间的关系



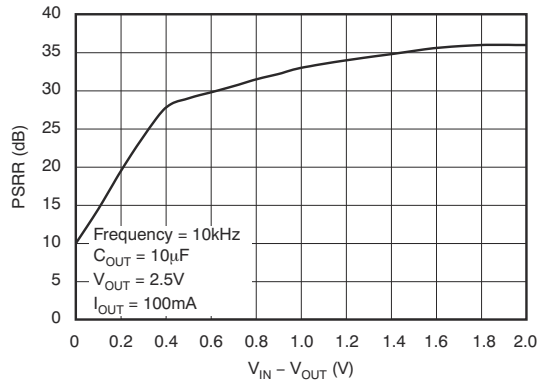
新器件

图 5-24. PSRR（纹波抑制）与频率间的关系

Copyright © 2025 Texas Instruments Incorporated

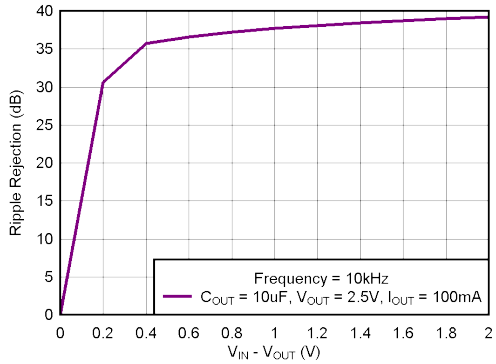
5.7 典型特性（续）

适用于所有电压版本，在 T_J = 25°C、V_{IN} = $V_{OUT(nom)}$ + 1V、I_{OUT} = 10mA、V_{EN} = 2.2V 且 C_{OUT} = 2.2 µF 条件下（除非另有说明）



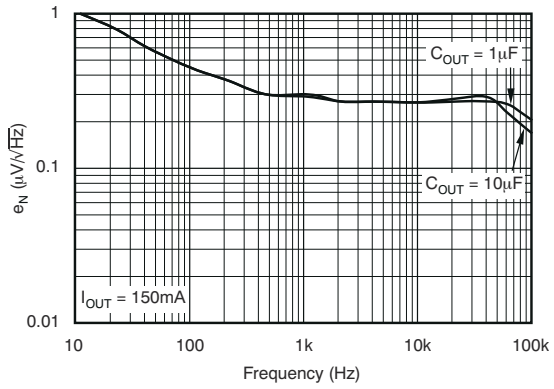
传统器件

图 5-25. PSRR（纹波抑制）与 (V_{IN} – V_{OUT}) 间的关系



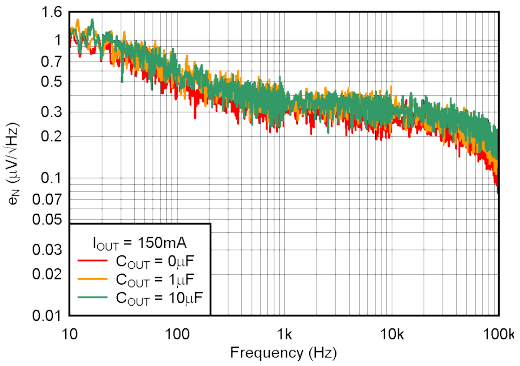
新器件

图 5-26. PSRR（纹波抑制）与 (V_{IN} – V_{OUT}) 间的关系



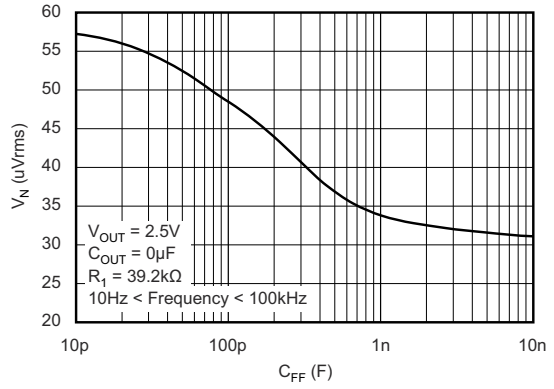
传统器件

图 5-27. 噪声频谱密度



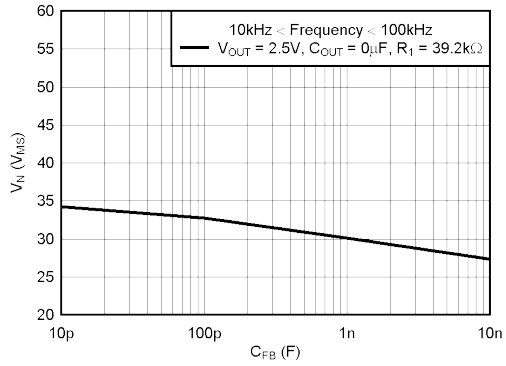
新器件

图 5-28. 噪声频谱密度



传统器件

图 5-29. TPS73701 RMS 噪声电压与 C_{FB} 间的关系



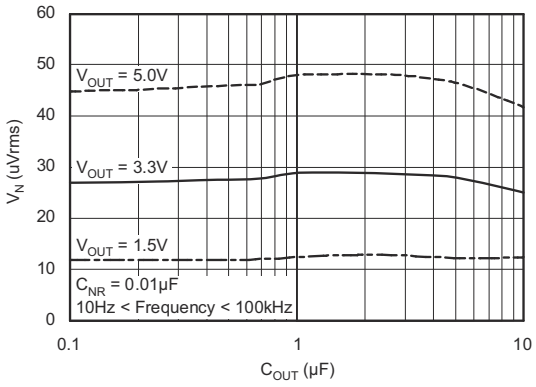
新器件

图 5-30. TPS73701 RMS 噪声电压与 C_{FB} 间的关系

Copyright © 2025 Texas Instruments Incorporated

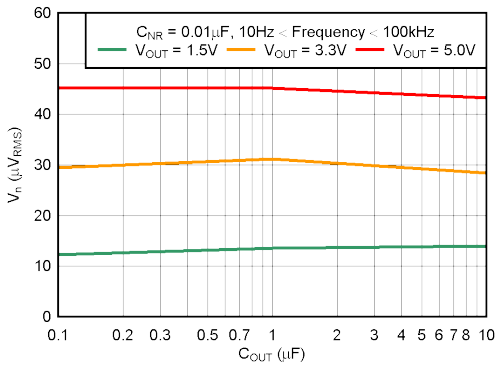
5.7 典型特性（续）

适用于所有电压版本，在 T_J = 25°C、V_{IN} = $V_{OUT(nom)}$ + 1V、I_{OUT} = 10mA、V_{EN} = 2.2V 且 C_{OUT} = 2.2 µ F 条件下（除非另有说明）



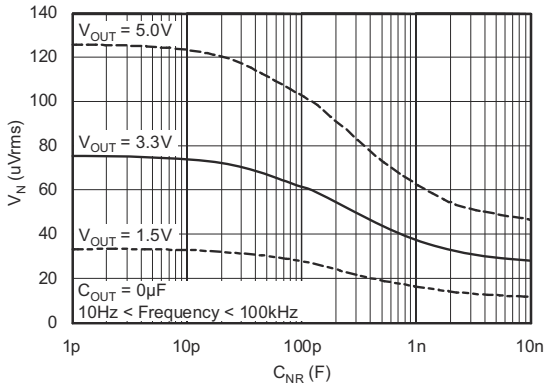
传统器件

图 5-31. RMS 噪声电压与 C_{OUT} 间的关系



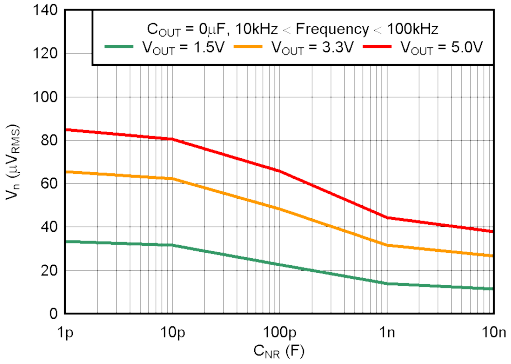
新器件

图 5-32. RMS 噪声电压与 C_{OUT} 间的关系



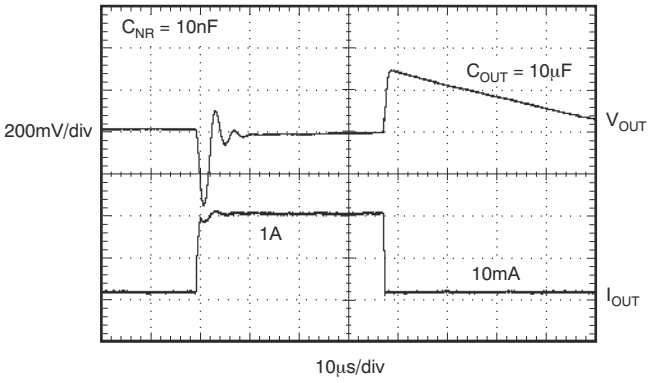
传统器件

图 5-33. RMS 噪声电压与 C_{NR} 间的关系



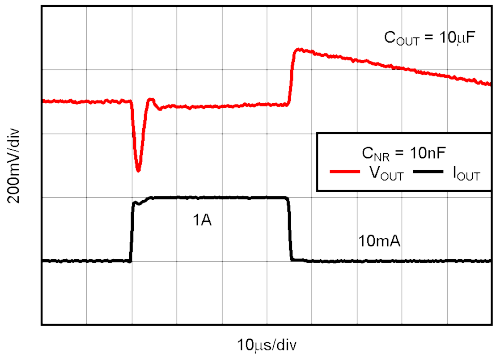
新器件

图 5-34. RMS 噪声电压与 C_{NR} 间的关系



传统器件

图 5-35. TPS73733 负载瞬态响应



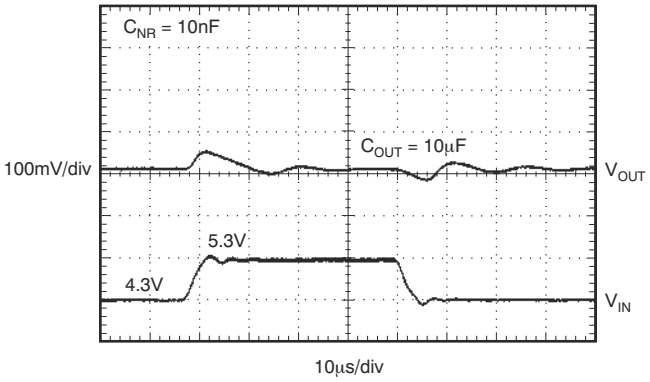
新器件

图 5-36. TPS73733 负载瞬态响应

Copyright © 2025 Texas Instruments Incorporated

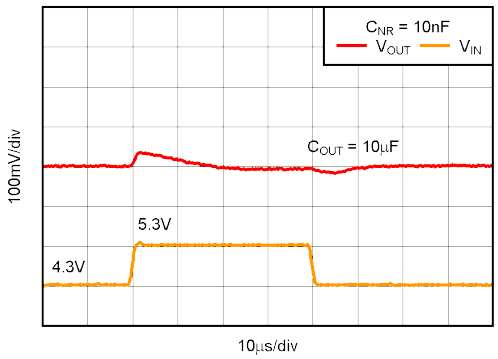
5.7 典型特性（续）

适用于所有电压版本，在 T_J = 25°C、V_{IN} = $V_{OUT(nom)}$ + 1V、I_{OUT} = 10mA、V_{EN} = 2.2V 且 C_{OUT} = 2.2 µ F 条件下（除非另有说明）



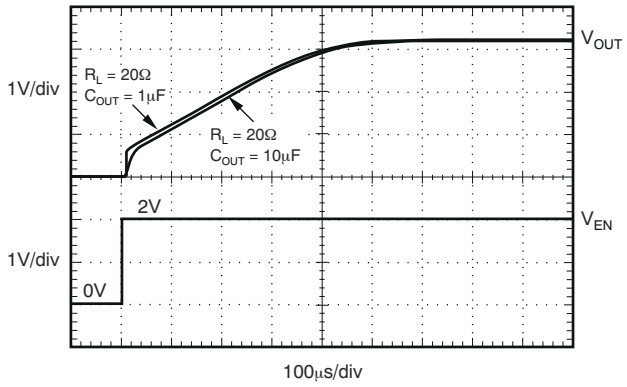
传统器件

图 5-37. TPS73733 线路瞬态响应



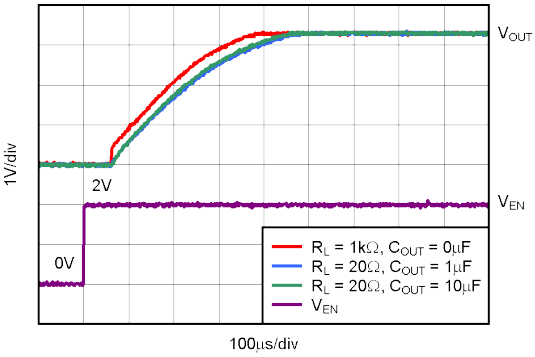
新器件

图 5-38. TPS73733 线路瞬态响应



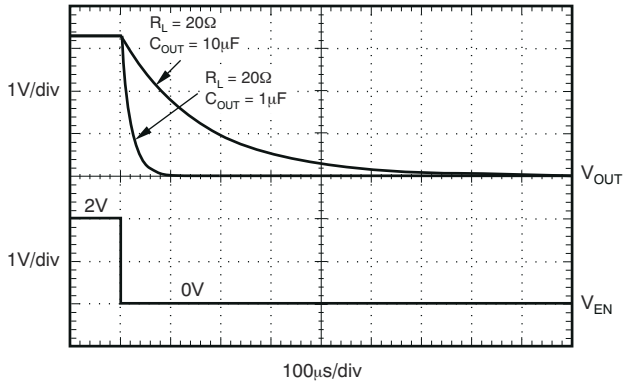
传统器件

图 5-39. TPS73701 导通响应



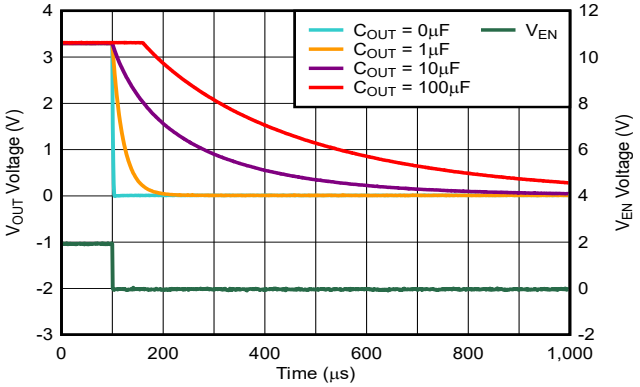
新器件

图 5-40. TPS73701 导通响应



传统器件

图 5-41. TPS73701 关断响应



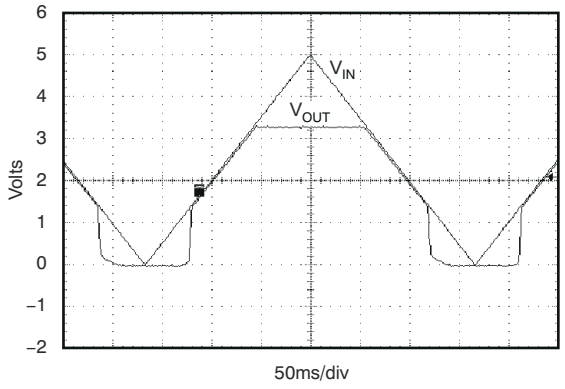
新器件

图 5-42. TPS73701 关断响应

Copyright © 2025 Texas Instruments Incorporated

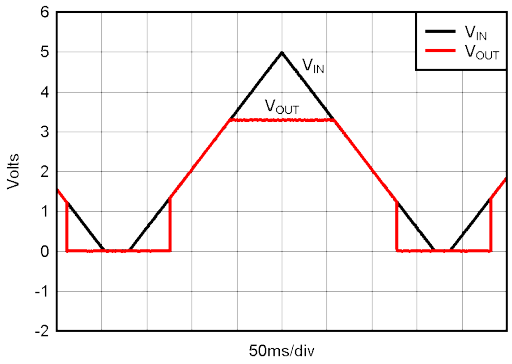
5.7 典型特性（续）

适用于所有电压版本，在 T_J = 25°C、V_{IN} = $V_{OUT(nom)}$ + 1V、I_{OUT} = 10mA、V_{EN} = 2.2V 且 C_{OUT} = 2.2 µF 条件下（除非另有说明）



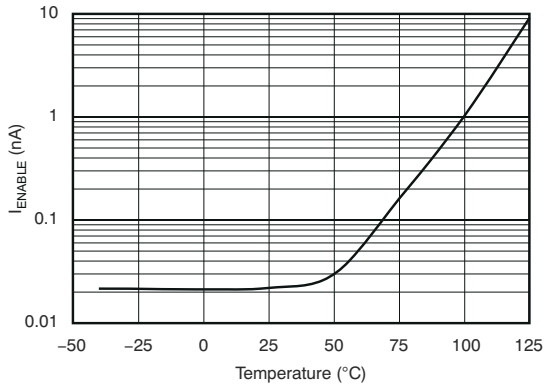
传统器件

图 5-43. TPS73701，V_{OUT} = 3.3-V 上电和断电



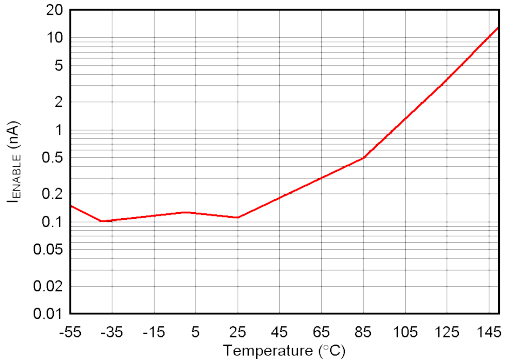
新器件

图 5-44. TPS73701，V_{OUT} = 3.3-V 上电和断电



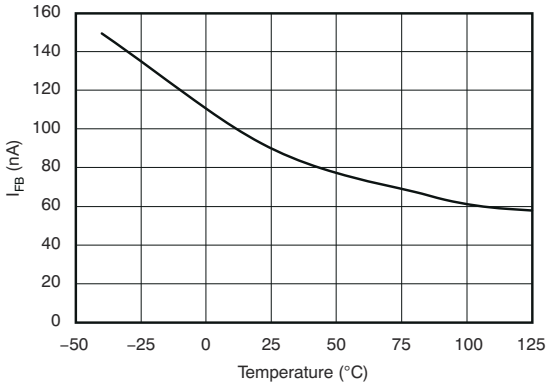
传统器件

图 5-45. I_{EN} 与温度间的关系



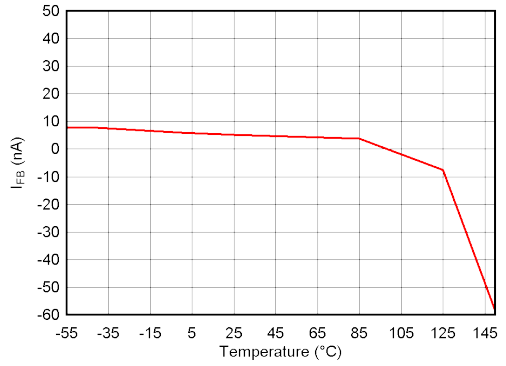
新器件

图 5-46. I_{EN} 与温度间的关系



传统器件

图 5-47. TPS73701 I_{FB} 与温度间的关系



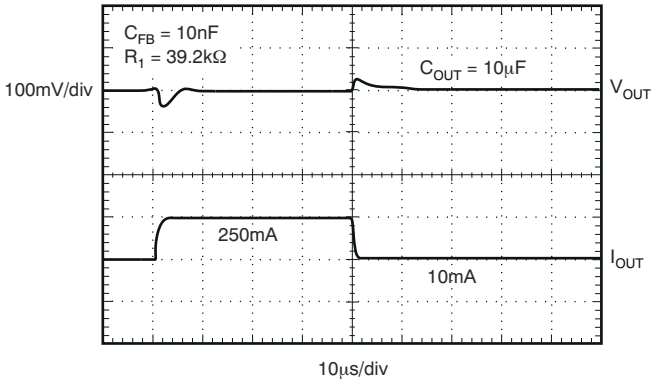
新器件

图 5-48. TPS73701 I_{FB} 与温度间的关系

Copyright © 2025 Texas Instruments Incorporated

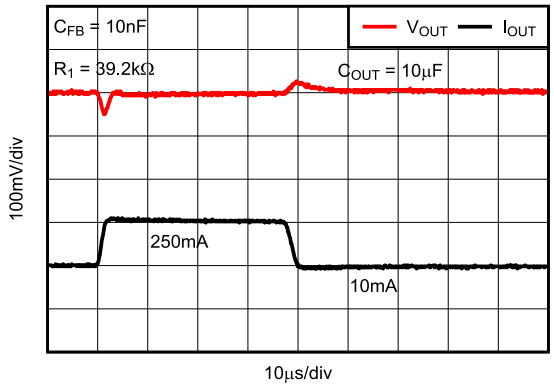
5.7 典型特性（续）

适用于所有电压版本，在 T_J = 25°C、V_{IN} = $V_{OUT(nom)}$ + 1V、I_{OUT} = 10mA、V_{EN} = 2.2V 且 C_{OUT} = 2.2 µF 条件下（除非另有说明）



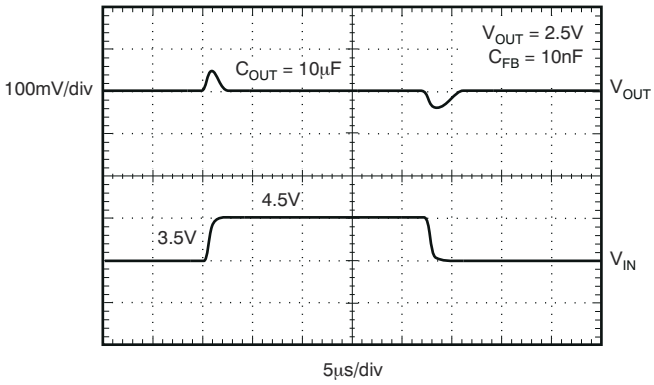
传统器件

图 5-49. TPS73701 负载瞬态，可调节版本



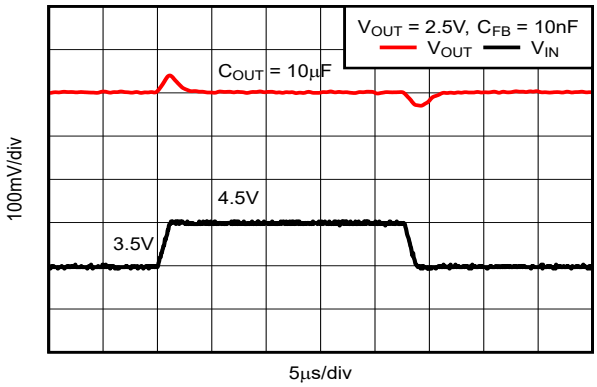
新器件、C_{out} = 10 µF、钽

图 5-50. TPS73701 负载瞬态，可调节版本



传统器件

图 5-51. TPS73701 线路瞬态，可调节版本



新器件、C_{out} = 10 µF、钽

图 5-52. TPS73701 线路瞬态，可调节版本

Copyright © 2025 Texas Instruments Incorporated

6 详细说明

6.1 概述

TPS737 是低压降 (LDO) 稳压器，使用 n 型场效应 (NMOS) 导通晶体管来实现超低压降性能、反向电流阻断以及不受输出电容器的限制。这些特性与使能输入结合，使得 TPS737 非常适合便携式应用。该稳压器提供多种固定输出电压版本和一个可调输出版本。所有版本都具有过热以及过流保护，其中包括折返电流限制。

6.2 功能方框图

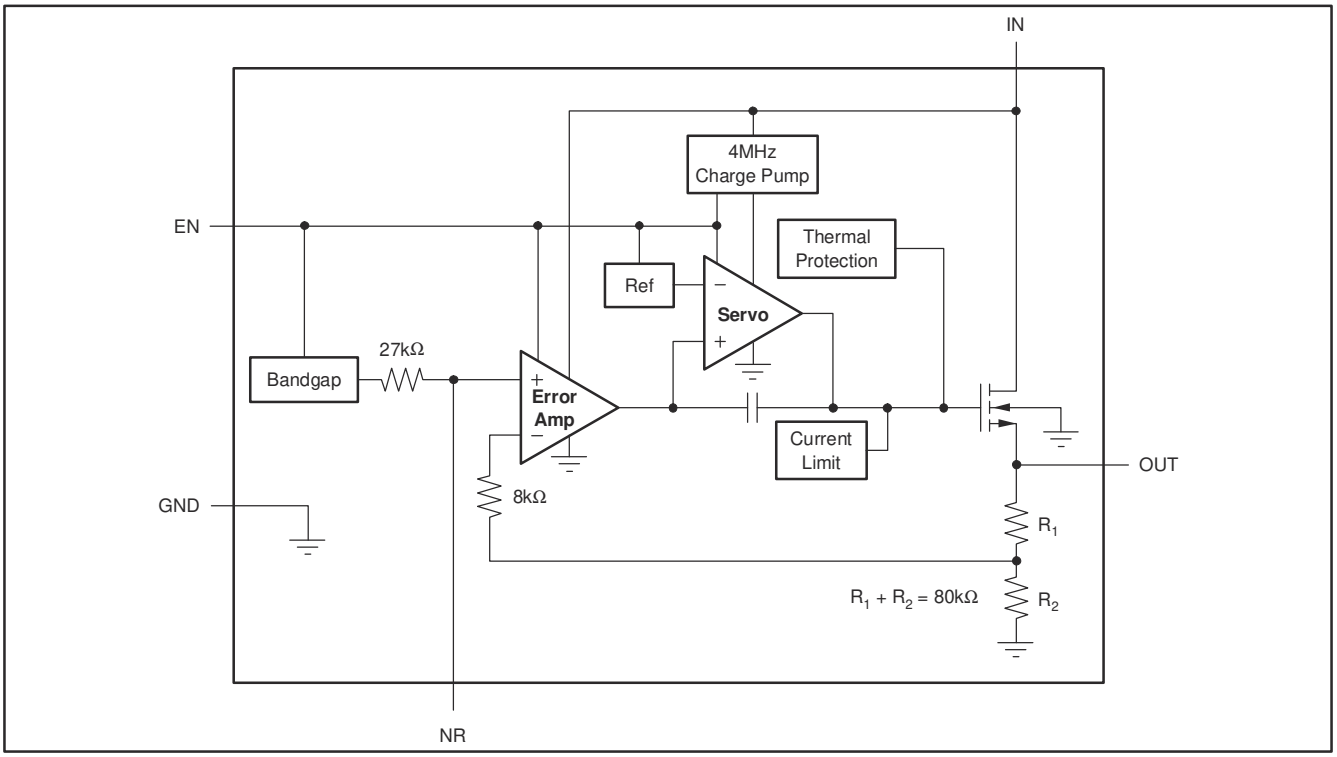
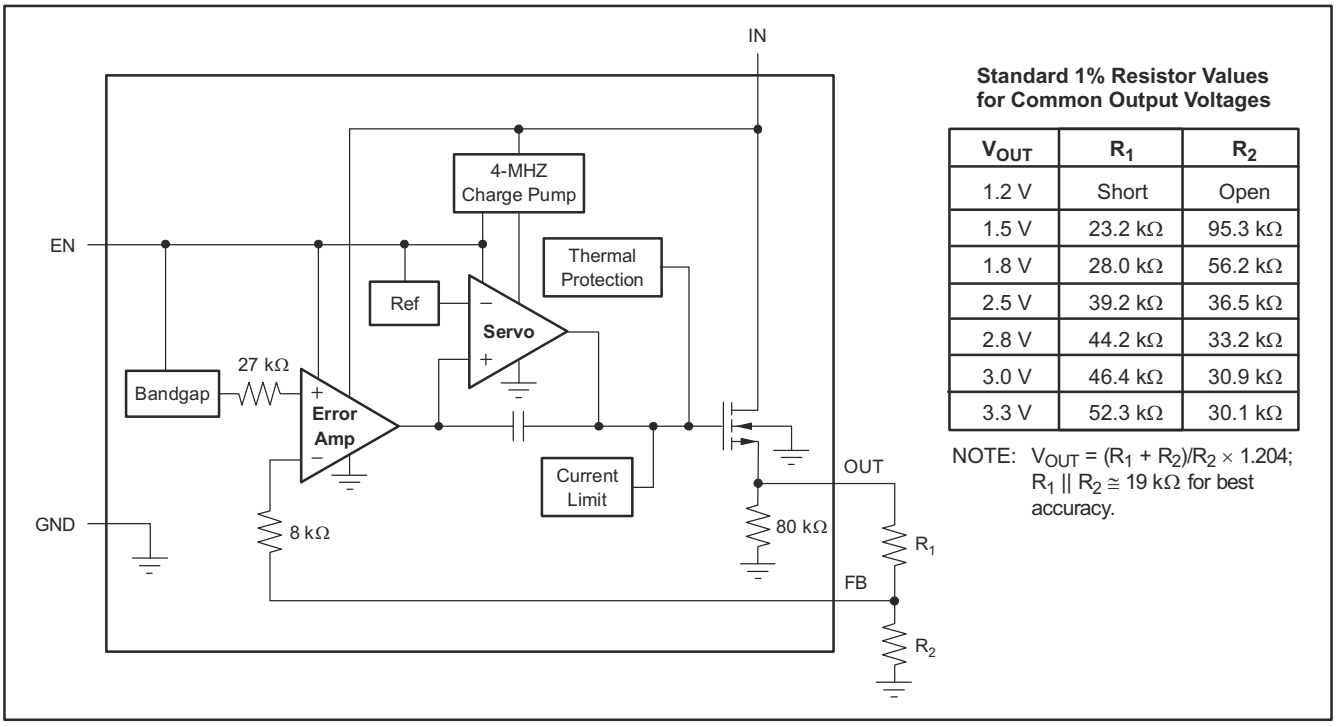


图 6-1. 固定电压版本



Standard 1% Resistor Values for Common Output Voltages

V_{OUT}	R_1	R_2
1.2 V	Short	Open
1.5 V	23.2 kΩ	95.3 kΩ
1.8 V	28.0 kΩ	56.2 kΩ
2.5 V	39.2 kΩ	36.5 kΩ
2.8 V	44.2 kΩ	33.2 kΩ
3.0 V	46.4 kΩ	30.9 kΩ
3.3 V	52.3 kΩ	30.1 kΩ

NOTE: $V_{OUT} = (R_1 + R_2)/R_2 \times 1.204$; $R_1 \parallel R_2 \cong 19\ k\Omega$ for best accuracy.

图 6-2. 可调电压版本

6.3 特性说明

6.3.1 輸出噪声

使用精准带隙基准生成内部基准电压 V_{ref}。该基准是 TPS737xx 内的主要噪声源，在基准输出 (NR) 上产生大约 32 μV_{RMS}（10Hz 至 100kHz）。稳压器控制环路对基准噪声的增益补偿与对基准电压的增益补偿一致，这样稳压器的噪声电压可大约确定为：

$$V_N = 32\mu V_{RMS} \times \frac{(R_1 + R_2)}{R_2} = 32\mu V_{RMS} \times \frac{V_{OUT}}{V_{REF}} \quad (1)$$

V_R 值为 1.2V，无 C_{NR} 时，此关系可简化为以下公式。

$$V_N(\mu V_{RMS}) = 27\left(\frac{\mu V_{RMS}}{V}\right) \times V_{OUT}(V) \quad (2)$$

外部降噪电容器 C_{NR} 从 NR 连接至接地时，与降噪引脚 (NR) 串联的内部 27kΩ 电阻器形成电压基准低通滤波器。C_{NR} = 10nF，10Hz 至 100kHz 带宽内的总噪声减少大约 3.2 倍，从而在以下公式中给出 C_{NR} = 10 nF 时的大致关系。

$$V_N(\mu V_{RMS}) = 8.5\left(\frac{\mu V_{RMS}}{V}\right) \times V_{OUT}(V) \quad (3)$$

该降噪效应显示在 *典型特性* 部分的 *RMS 噪声电压与 C_{NR} 间的关系*图中。

TPS73701 可调版本没有可用的 NR 引脚。不过，将一个反馈电容器 C_{FB} 从输出连接至反馈引脚 (FB) 将降低输出噪声并提升负载瞬态性能。将该电容器限制为 0.1μF。

Copyright © 2025 Texas Instruments Incorporated

TPS737 使用内部电荷泵形成内部电源电压，此电压足以将 NMOS 导通晶体管的栅极驱动至高于 V_{OUT} 的水平。此电荷泵在大约 4MHz 时生成大约 250 μ V 的开关噪声；然而，对于大多数 I_{OUT} 和 C_{OUT} 的值，电荷泵噪声对于稳压器输出的影响可以忽略不计。

6.3.2 内部电流限制

TPS737 内部电流限制有助于在故障情况下对稳压器进行保护。当 V_{OUT} 降到低于 0.5V 时，折返电流限制有助于在输出短路的情况下保护稳压器免受损坏（请参阅 *典型特性*部分中的 图 5-17）。

根据 图 5-17，大约 -0.2V 的 V_{OUT} 会导致 0mA 的电流限值。因此，如果在 EN 变为高电平前，OUT 强制低于 -0.2V，器件可能无法启动。在同时使用正负电源的应用中，TPS737 必须先启用。

6.3.3 使能引脚和关断

使能引脚 (EN) 高电平有效并且与标准 TTL-CMOS 电平兼容。V_{EN} 低于 0.5V（最大值）将使稳压器判断并将 GND 引脚的电流降至大约 10nA。当 EN 用来关闭稳压器时，导通晶体管的栅极电荷会被完全清除。V_{EN} 高于 1.7V（最小值）会打开稳压器，并且输出会斜升至稳定的 V_{OUT}（请参阅图 5-39）。

当不需要关断功能时，EN 可连接至 V_{IN}。但使用此配置时，导通晶体管可能无法放电并且可能在 V_{IN} 移除后长时间保持接通（增强）状态。这个情况会导致反向电流（如果 IN 引脚为低阻抗）并在加电时产生更快的斜坡时间。此外，对于 V_{IN} 斜坡时间长于几毫秒的情况，输出可能在加电时过冲。

电流限制折返能够防止某些条件下的器件启动。更多信息请参阅 *内部电流限制* 部分。

6.3.4 反向电流

TPS737 的 NMOS 导通晶体管可针对导通晶体管的栅极拉至低电平时，稳压器输出的电流提供固有保护。为了确保从导通晶体管的栅极移除所有电荷，在移除输入电压之前，必须将 EN 引脚驱动至低电平。如果未将 EN 引脚驱动至低电平，由于栅极存储电荷，导通晶体管可能保持导通状态。

在 EN 引脚被驱动至低电平时，在任一引脚上无需偏置电压即可实现反向电路阻断。反向电流被定义为由于施加到 OUT 引脚上的电压而从 IN 引脚中流出的电流。由于 80kΩ 内部电阻分压器接地，将有额外的电流流入 OUT 引脚（请见 图 6-1 和 图 6-2 ）。

对于 TPS73701，当 V_{FB} 高于 V_{IN} 超过 1.0V 时，可能产生反向电流。

6.4 器件功能模式

驱动 EN 引脚至超过 1.7V 即可打开稳压器。将 EN 引脚驱动至低于 0.5V 使稳压器进入关断模式。关断时，器件的电流消耗降至 20nA（典型值）。

Copyright © 2025 Texas Instruments Incorporated

7 应用和实施

备注

以下应用部分中的信息不属于 TI 器件规格的范围，TI 不担保其准确性和完整性。TI 的客 户应负责确定器件是否适用于其应用。客户应验证并测试其设计，以确保系统功能。

7.1 应用信息

TPS737 低压降 (LDO) 稳压器使用 NMOS 导通晶体管来实现超低压降性能、反向电流阻断以及不受输出电容器的限制。这些特性与低噪声和一个使能输入相结合，使得 TPS737 非常适合便携式应用。该稳压器提供多种固定输出电压版本和一个可调输出版本。所有版本都具有过热以及过流保护，其中包括折返电流限制。

7.2 典型应用

图 7-1 显示了固定电压模型的基本电路连接。 图 7-2 提供了可调输出版本 (TPS73701) 的连接。

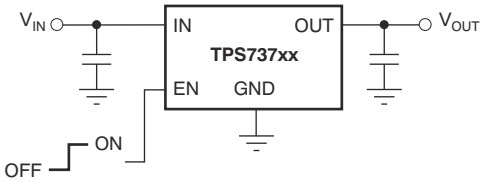


图 7-1. 固定电压版本的典型应用电路

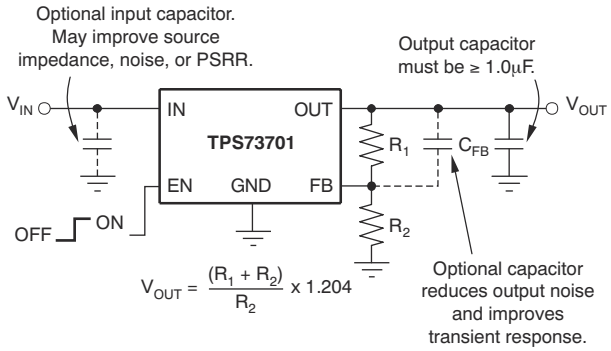


图 7-2. 可调电压版本的典型应用电路

7.2.1 设计要求

使用图 7-2 中显示的公式，R_1 和 R_2 可用于计算任一输出电压。图 6-2 中给出常用输出电压对应的示例电阻值。

对了获得最佳精度，应当使 R_1 和 R_2 的并联组合值约为 19kΩ。除了内部 8kΩ 电阻器，这个 19kΩ 的电阻值为误差放大器提供了与 27kΩ 带隙基准输出相同的阻抗。这个阻抗有助于补偿进入误差放大器端子的泄漏。

7.2.2 详细设计过程

针对压降和输出电流提供具有充足余量的输入电源，补偿 GND 引脚电流并为负载供电。此外，按照 *输入和输出电容器要求* 部分所述选择充足的输入和输出电容器。

7.2.2.1 输入和输出电容器要求

输入阻抗非常低时，无需输入电容器即可实现稳定，将 0.1 µ F 至 1 µ F 低等效串联电阻 (ESR) 电容器连接到稳压器附近的输入电源上是比较优秀的模拟设计原则。该电容器抵消了被重新激活的输入源并且提升了瞬态响应、噪声抑制、以及纹波抑制。如果有可能出现较大、快速上升时间的负载瞬态或者器件距离电源几英寸远的话，有可能需要一个更大电容值的电容器。

Copyright © 2025 Texas Instruments Incorporated

TPS737 需要 1µF 输出电容器来实现稳定性。该器件经过专门设计，可在与所有可用类型和电容值的电容器一起工作时保持稳定。在多个低 ESR 电容器并联的应用中，当 C_{OUT} 与总 ESR 的结果降低至低于 50 nF·Ω 时，有可能发生振铃。总 ESR 包括全部寄生电阻，其中有电容器 ESR 和电路板、插槽、和焊点结合处电阻。在大多数应用中，电容器 ESR 和走线电阻值的总和满足这一要求。

7.2.2.2 压降电压

TPS737 使用 NMOS 导通晶体管来实现极低压降。当 (V_{IN} – V_{OUT}) 低于压降电压 (V_{DO}) 时，NMOS 导通晶体管处于其运行的线性区域并且输入到输出电阻是 NMOS 导通元件的 $R_{DS(on)}$。

对于负载电流的较大阶跃变化，TPS737 要求从 V_{IN} 到 V_{OUT} 的更大压降以避免降低瞬态响应的性能。这个瞬变压降区域的边界大约为 DC 输出的两倍。在这个边界之上的 (V_{IN} – V_{OUT}) 值提供正常的瞬态响应。

在瞬态压降区域内运行会增加恢复时间。从负载瞬态中恢复所需的时间是负载电流速率变化幅度、负载电流变化速率和可用余量（V_{IN} 至 V_{OUT} 压降）的函数。在最差情况下[(V_{IN} – V_{OUT}) 的满量程瞬时负载变化接近 DC 压降水平]，TPS737 可在几百毫秒内返回特定的调节精度。

7.2.2.3 瞬态响应

电压跟随器配置中的 NMOS 导通晶体管提供的低开环路输出阻抗可在无 1µF 输出电容器的情况下运行。配合稳压器时，OUT 引脚到接地间增加的额外电容可以减少下冲幅度，但会增加持续时间。在可调版本中，在 OUT 引脚到 FB 引脚间增加的电容器 C_{FB} 也会提升瞬态响应性能。

输出过压时，TPS737 不具有有源下拉。该架构支持应用将替代电源等更高电压源连接至输出。在输出上连接电容器时，如果负载电流快速下降至零，该架构也将导致几个百分点的输出过冲。通过增加一个负载电阻器可减少过冲的持续时间。过冲衰减速率由输出电容器 C_{OUT} 和内部及外部负载电阻值确定。衰减速率由以下因素确定：

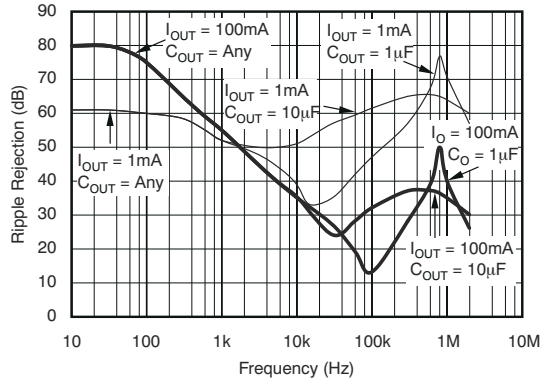
（固定电压版本）

$$\frac{dV}{dT} = \frac{V_{OUT}}{C_{OUT} \times 80k\Omega \,||\, R_{LOAD}} \tag{4}$$

（可调电压版本）

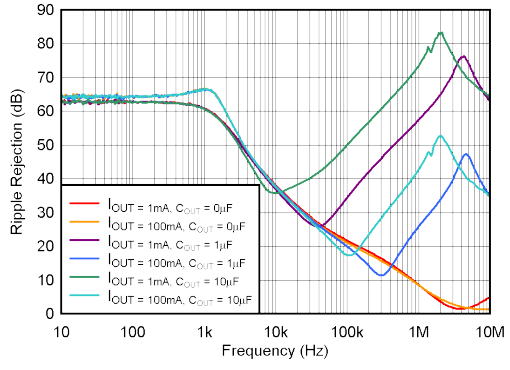
$$\frac{dV}{dT} = \frac{V_{OUT}}{C_{OUT} \times 80k\Omega \,||\, (R_1 + R_2) \,||\, R_{LOAD}} \tag{5}$$

7.2.3 应用曲线



传统器件

图 7-3. PSRR（纹波抑制）与频率间的关系

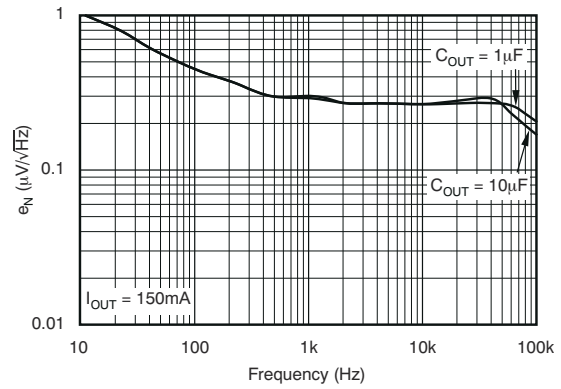


新器件

图 7-4. PSRR（纹波抑制）与频率间的关系

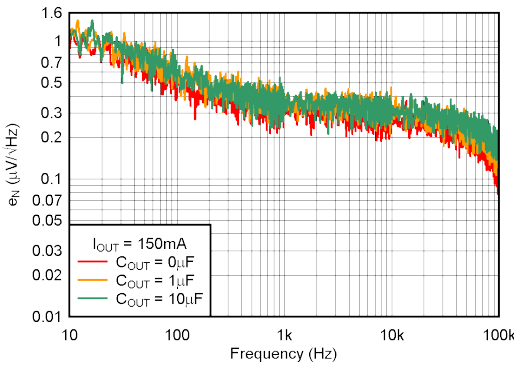
Copyright © 2025 Texas Instruments Incorporated

7.2.3 应用曲线（续）



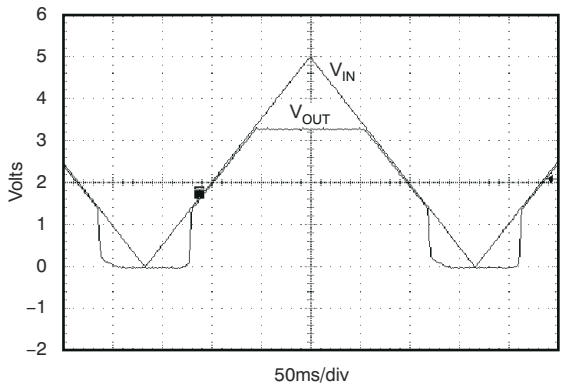
传统器件

图 7-5. 噪声频谱密度



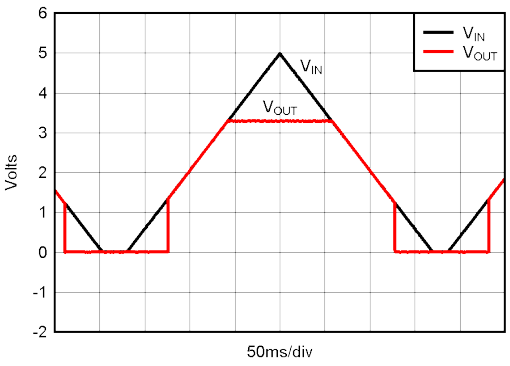
新器件

图 7-6. 噪声频谱密度



传统器件

图 7-7. TPS73701，V_{OUT} = 3.3-V 上电和断电



新器件

图 7-8. TPS73701，V_{OUT} = 3.3-V 上电和断电

Copyright © 2025 Texas Instruments Incorporated

7.3 最佳设计实践

将至少一个 1 µ F 陶瓷电容器放置得尽可能靠近稳压器的 OUT 引脚。

请勿将输出电容器布置在距离稳压器超过 10mm 的位置。

在稳压器的 IN 引脚与 GND 输入之间连接 1 µ F 低等效串联电阻 (ESR) 电容器，提高瞬态性能。

请勿超出绝对最大额定值。

7.4 电源相关建议

该器件设计在 2.2V 至 5.5V 的输入电源电压范围内运行。此输入电压范围为器件提供充足的余量来实现稳定输出。该输入电源必须经过良好调节。如果输入电源存在噪声，则附加具有低 ESR 的输入电容器有助于提高输出噪声性能。

7.5 布局

7.5.1 布局指南

为了提高 PSRR、输出噪声和瞬态响应等交流性能，设计印刷电路板 (PCB) 时为 V_{IN} 和 V_{OUT} 电容器提供接地平面连接。此外，确保接地平面连接到器件的 GND 引脚。此外，针对旁路电容器的接地连接必须直接接至器件的 GND 引脚。

7.5.1.1 功率耗散

了解器件功率耗散并正确确定连接到接片或焊盘的热平面尺寸，对于避免热关断并提供可靠运行至关重要。

器件的功率耗散取决于输入电压和负载条件，可以使用 方程式 6 计算：

$$P_D = (V_{IN} - V_{OUT}) \times I_{OUT} \tag{6}$$

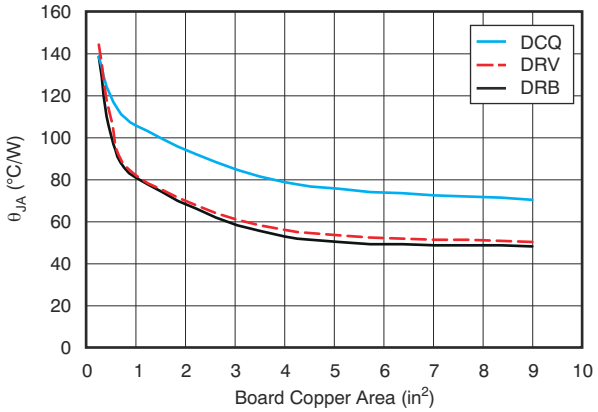
通过使用实现所需输出电压的最低可能输入电压可大大减小功率耗散并提高效率。

在 VSON (DRB) 和 WSON (DRV) 封装上，主要的热传导路径是通过外露焊盘到印刷电路板 (PCB)。焊盘可以接地或保持悬空；但必须将焊盘连接到适当大小的覆铜 PCB 区域，确保器件不会过热。在 SOT-223 (DCQ) 封装上，主要的热传导路径是通过接片到 PCB。接片必须连接到地。最大结至环境热阻取决于最高环境温度、最高器件结温和器件的功率耗散，可以使用 方程式 7 计算：

$$R_{\theta JA} = \frac{(+125°C - T_A)}{P_D} \tag{7}$$

已知最大 $R_{\theta JA}$，可以使用 图 7-9 估算适当散热所需的 PCB 覆铜面积最小值。

Copyright © 2025 Texas Instruments Incorporated



电路板尺寸为 9in^2（即 3in × 3in）时的 $R_{\theta JA}$ 值是 JEDEC 标准。

图 7-9. $R_{\theta JA}$ 与电路板尺寸之间的关系

图 7-9 展示了 $R_{\theta JA}$ 与电路板中接地平面覆铜区的函数关系。图 7-9 仅用作参考，演示接地平面中散热的影响，不用于估算实际应用环境中的实际热性能。

备注

器件安装在应用 PCB 上时，强烈建议使用 Ψ_{JT} 和 Ψ_{JB}，参见*热性能信息*表中的说明。

7.5.1.2 热保护

当结温上升至大约 160°C 时，过热保护会禁用输出以使器件冷却。当结温冷却至大约 140°C 时，输出电路将被重新使能。根据功率耗散、热阻和环境温度的变化，过热保护电路可能会循环开启和关断。这一循环操作会限制稳压器的功耗，防止稳压器因过热而损坏。

任何有可能激活过热保护电路的情况表示过多的功率耗散或者不够充分的散热。为了实现可靠运行，请将结温限制为最高 125°C。为了估算一个完整设计中（包括散热）的安全裕量，增加环境温度直到触发过热保护；使用最差情况负载和信号条件。为了实现更好的稳定性，过热保护必须在比您的应用的最大预计环境温度至少高 35°C 时触发。该缓冲可在最高预计环境温度和最差情况负载上产生 125°C 最差情况结温。

TPS737 的内部保护电路经过设计，可防止出现过载情况。该电路并不是为了取代适当的散热装置。TPS737 持续运行至热关断状态会降低器件的可靠性。

7.5.1.3 估算结温

使用*热性能信息*表中所示的热指标 Ψ_{JT} 和 Ψ_{JB}，可以用相应的公式（在 方程式 8 中给出）估算结温。为了实现向后兼容性，还列出了较旧的 $\theta_{JC,Top}$ 参数。

$$\Psi_{JT}: \quad T_J = T_T + \Psi_{JT} \bullet P_D$$
$$\Psi_{JB}: \quad T_J = T_B + \Psi_{JB} \bullet P_D \tag{8}$$

其中：

- P_D 是耗散功率，如 方程式 6 所示
- T_T 器件封装顶部中间位置的温度
- T_B 是在 *PCB 表面*距器件封装 1mm 处测得的 PCB 温度（如 图 7-11 所示）

备注

T_T 和 T_B 都可以使用测温仪（红外温度计）在实际应用板上测得。

Copyright © 2025 Texas Instruments Incorporated

有关测量 T_T 和 T_B 的详细信息，请参阅*使用新的热指标*应用手册（可从 www.ti.com 下载）。

如 图 7-10 所示，新的热指标（Ψ_{JT} 和 Ψ_{JB}）对电路板尺寸的依赖度极低。即使用 Ψ_{JT} 或 Ψ_{JB} 及 方程式 8 时，只需简单测量 T_T or T_B 即可估算 T_J，此时无需考虑应用板的尺寸。

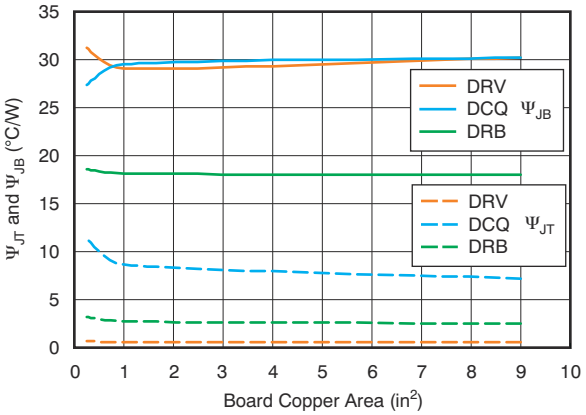
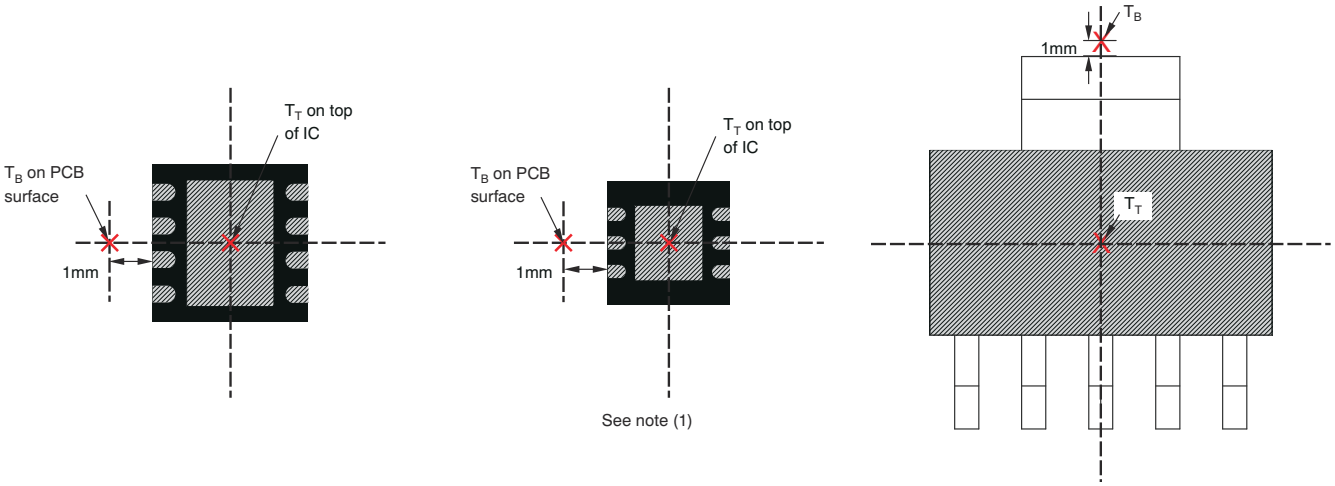


图 7-10. ψ_{JT} 和 ψ_{JB} 与电路板尺寸间的关系

有关 TI 为何不建议使用 $\theta_{JC(top)}$ 确定散热特性的更详细讨论，请参阅*使用新的热指标*应用手册（可从 www.ti.com 下载）。有关详细信息，请参阅*半导体和 IC 封装热指标*应用手册（也可从 TI 网站获取）。图 7-11 展示了 DRB、DRV 和 DCQ 封装的测量点。



(a) Example DRB (SON) Package Measurement　(b) Example DRV (SON) Package Measurement　(c) Example DCQ (SOT-223) Package Measurement

A. 功率耗散可限制运行范围。查阅*热性能信息*表。

图 7-11. T_T 和 T_B 的测量点

Copyright © 2025 Texas Instruments Incorporated

7.5.2 布局示例

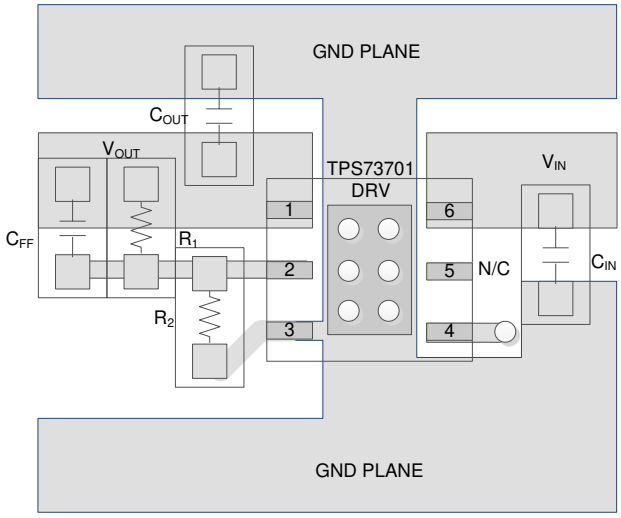


图 7-12. 布局示例

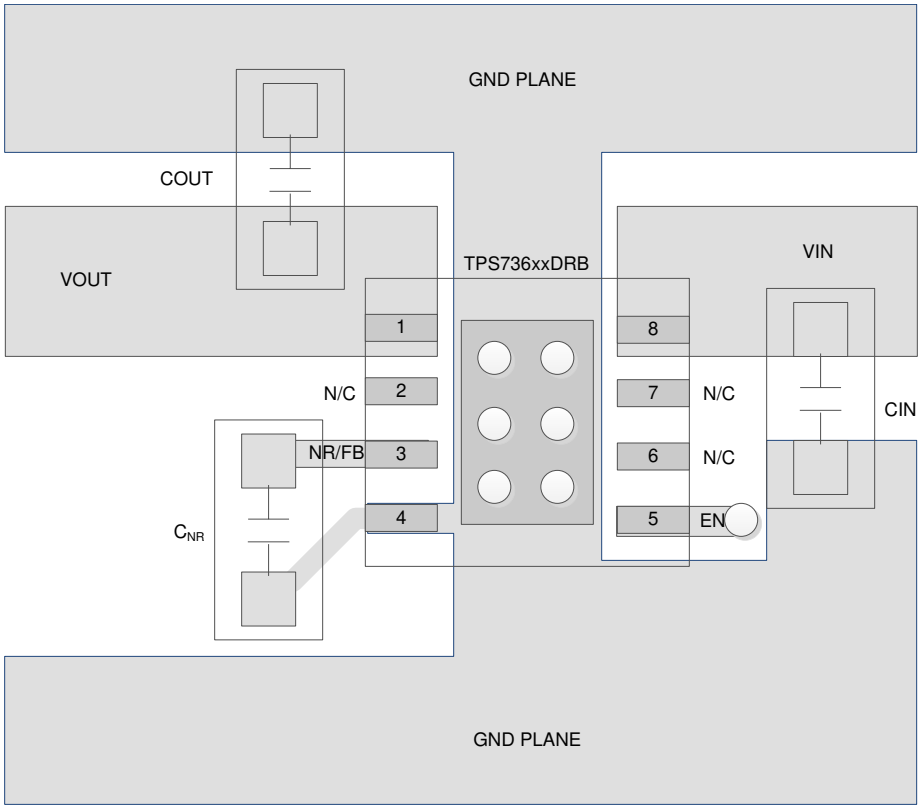


图 7-13. 固定输出电压选项布局（DRB 封装）

Copyright © 2025 Texas Instruments Incorporated

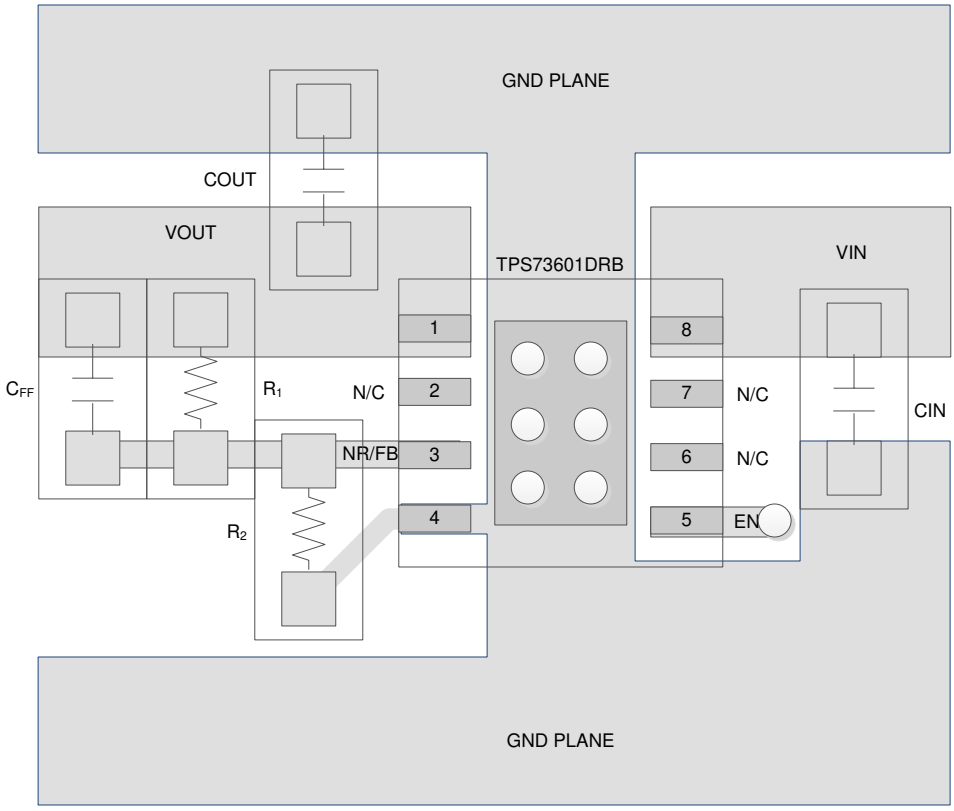


图 7-14. 可调输出电压选项布局（DRB 封装）

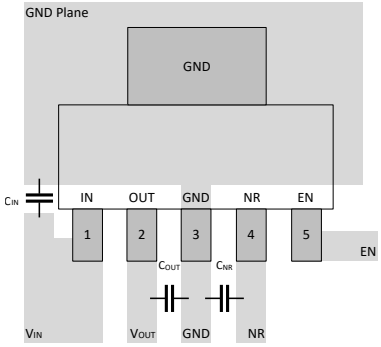


图 7-15. DCQ 封装（固定版本）布局示例

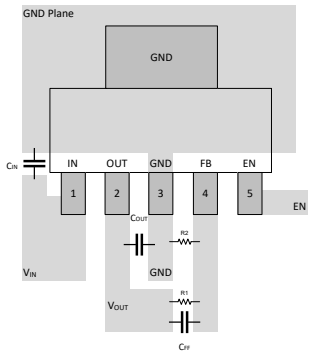


图 7-16. DCQ 封装（可调节版本）布局示例

Copyright © 2025 Texas Instruments Incorporated

8 器件和文档支持

8.1 器件支持

8.1.1 开发支持

8.1.1.1 评估模块

评估模块 (EVM) 可与 TPS737 配套使用，帮助评估初始电路性能。TPS73701DRVEVM-529 评估模块（以及相关用户指南）可在德州仪器 (TI) 网站上的产品文件夹中获取，也可直接从 TI 网上商店购买。

8.1.1.2 Spice 模型

分析模拟电路和系统的性能时，使用 SPICE 模型通常有利于对电路性能进行计算机仿真。您可以从产品文件夹中的*工具与软件*下获取 TPS737 的 SPICE 模型。

8.1.2 器件命名规则

表 8-1. 订购信息 (1)

产品	说明(1)
TPS737**xxyyyz(M3)**	**xx** 是标称输出电压（例如：25 = 2.5V，01 = 可调节 (2)）。 **yyy** 为封装标识符。 **z** 为封装数量。 **M3** 是仅使用最新制造流程的器件的后缀指示符（CSO：RFB）。没有这个后缀的器件可以随附*传统器件*（CSO：DLN）或*新器件*（CSO：RFB）。卷带封装标签提供 CSO 信息以区分正在使用的器件。全篇对新器件和传统器件的器件性能进行了说明。

(1) 有关最新的封装和订货信息，请参阅本文档末尾的封装选项附录，或访问 www.ti.com.cn，查看器件产品文件夹。
(2) 以固定电压 1.20V 运行时，将 FB 连接至 OUT。

8.2 文档支持

8.2.1 相关文档

请参阅以下相关文档：

- 德州仪器 (TI)，*使用新的热指标 应用手册*
- 德州仪器 (TI)，*TPS73701DRVEVM-529 用户指南*用户指南
- 德州仪器 (TI)，*TMS320DM644x 电源参考设计*应用手册
- 德州仪器 (TI)，*TPS73x01DRBEVM-518 用户指南*用户指南

8.3 接收文档更新通知

要接收文档更新通知，请导航至 ti.com 上的器件产品文件夹。点击*通知* 进行注册，即可每周接收产品信息更改摘要。有关更改的详细信息，请查看任何已修订文档中包含的修订历史记录。

8.4 支持资源

TI E2E™ 中文支持论坛是工程师的重要参考资料，可直接从专家处获得快速、经过验证的解答和设计帮助。搜索现有解答或提出自己的问题，获得所需的快速设计帮助。

链接的内容由各个贡献者“按原样”提供。这些内容并不构成 TI 技术规范，并且不一定反映 TI 的观点；请参阅 TI 的使用条款。

8.5 商标

TI E2E™ is a trademark of Texas Instruments.
所有商标均为其各自所有者的财产。

Copyright © 2025 Texas Instruments Incorporated

8.6 静电放电警告



静电放电 (ESD) 会损坏这个集成电路。德州仪器 (TI) 建议通过适当的预防措施处理所有集成电路。如果不遵守正确的处理和安装程序，可能会损坏集成电路。

ESD 的损坏小至导致微小的性能降级，大至整个器件故障。精密的集成电路可能更容易受到损坏，这是因为非常细微的参数更改都可能会导致器件与其发布的规格不相符。

8.7 术语表

TI 术语表　　本术语表列出并解释了术语、首字母缩略词和定义。

9 修订历史记录

注：以前版本的页码可能与当前版本的页码不同

Changes from Revision V (May 2025) to Revision W (August 2025)	Page
• 添加了 DRV (WSON) 封装的新器件热性能	4

Changes from Revision U (September 2024) to Revision V (May 2025)	Page
• 更新了 DRB0008A 封装外形图的 DRB (VSON)	4
• 在*使能引脚和关断*部分中将 V_{IN} *高于 1.7V* 更改为 V_{EN} *高于 1.7V*	19

10 机械、封装和可订购信息

以下页面包含机械、封装和可订购信息。这些信息是指定器件可用的最新数据。数据如有变更，恕不另行通知，且不会对此文档进行修订。有关此数据表的浏览器版本，请查阅左侧的导航栏。

Copyright © 2025 Texas Instruments Incorporated

PACKAGING INFORMATION

Orderable part number	Status (1)	Material type (2)	Package | Pins	Package qty | Carrier	RoHS (3)	Lead finish/ Ball material (4)	MSL rating/ Peak reflow (5)	Op temp (°C)	Part marking (6)
TPS73701DCQ	Active	Production	SOT-223 (DCQ) | 6	78 | TUBE	Yes	SN	Level-2-260C-1 YEAR	-40 to 125	TPS73701
TPS73701DCQ.A	Active	Production	SOT-223 (DCQ) | 6	78 | TUBE	Yes	SN	Level-2-260C-1 YEAR	-40 to 125	TPS73701
TPS73701DCQG4	Active	Production	SOT-223 (DCQ) | 6	78 | TUBE	Yes	NIPDAU	Level-2-260C-1 YEAR	-40 to 125	TPS73701
TPS73701DCQG4.A	Active	Production	SOT-223 (DCQ) | 6	78 | TUBE	Yes	NIPDAU	Level-2-260C-1 YEAR	-40 to 125	TPS73701
TPS73701DCQR	Active	Production	SOT-223 (DCQ) | 6	2500 | LARGE T&R	Yes	NIPDAU | SN	Level-2-260C-1 YEAR	-40 to 125	TPS73701
TPS73701DCQR.A	Active	Production	SOT-223 (DCQ) | 6	2500 | LARGE T&R	Yes	SN	Level-2-260C-1 YEAR	-40 to 125	TPS73701
TPS73701DCQRG4	Active	Production	SOT-223 (DCQ) | 6	2500 | LARGE T&R	Yes	NIPDAU	Level-2-260C-1 YEAR	-40 to 125	TPS73701
TPS73701DCQRG4.A	Active	Production	SOT-223 (DCQ) | 6	2500 | LARGE T&R	Yes	NIPDAU	Level-2-260C-1 YEAR	-40 to 125	TPS73701
TPS73701DCQRM3	Active	Production	SOT-223 (DCQ) | 6	2500 | LARGE T&R	Yes	NIPDAU	Level-2-260C-1 YEAR	-40 to 125	TPS73701
TPS73701DRBR	Active	Production	SON (DRB) | 8	3000 | LARGE T&R	Yes	NIPDAU	Level-1-260C-UNLIM	-40 to 125	BZN
TPS73701DRBR.A	Active	Production	SON (DRB) | 8	3000 | LARGE T&R	Yes	NIPDAU	Level-1-260C-UNLIM	-40 to 125	BZN
TPS73701DRBRG4	Active	Production	SON (DRB) | 8	3000 | LARGE T&R	Yes	NIPDAU	Level-1-260C-UNLIM	-40 to 125	BZN
TPS73701DRBRM3	Active	Production	SON (DRB) | 8	3000 | LARGE T&R	Yes	NIPDAU	Level-1-260C-UNLIM	-40 to 125	BZN
TPS73701DRBRM3.A	Active	Production	SON (DRB) | 8	3000 | LARGE T&R	Yes	NIPDAU	Level-1-260C-UNLIM	-40 to 125	BZN
TPS73701DRBT	Active	Production	SON (DRB) | 8	250 | SMALL T&R	Yes	NIPDAU	Level-1-260C-UNLIM	-40 to 125	BZN
TPS73701DRBT.A	Active	Production	SON (DRB) | 8	250 | SMALL T&R	Yes	NIPDAU	Level-1-260C-UNLIM	-40 to 125	BZN
TPS73701DRVR	Active	Production	WSON (DRV) | 6	3000 | LARGE T&R	Yes	NIPDAU	Level-2-260C-1 YEAR	-40 to 125	QTN
TPS73701DRVR.A	Active	Production	WSON (DRV) | 6	3000 | LARGE T&R	Yes	NIPDAU	Level-2-260C-1 YEAR	-40 to 125	QTN
TPS73701DRVRM3	Active	Production	WSON (DRV) | 6	3000 | LARGE T&R	Yes	NIPDAU	Level-1-260C-UNLIM	-40 to 125	QTN
TPS73701DRVT	Active	Production	WSON (DRV) | 6	250 | SMALL T&R	Yes	NIPDAUAG	Level-2-260C-1 YEAR	-40 to 125	QTN
TPS73701DRVT.A	Active	Production	WSON (DRV) | 6	250 | SMALL T&R	Yes	NIPDAUAG	Level-2-260C-1 YEAR	-40 to 125	QTN
TPS73718DCQ	Active	Production	SOT-223 (DCQ) | 6	78 | TUBE	Yes	SN	Level-2-260C-1 YEAR	-40 to 125	TPS73718
TPS73718DCQ.A	Active	Production	SOT-223 (DCQ) | 6	78 | TUBE	Yes	SN	Level-2-260C-1 YEAR	-40 to 125	TPS73718
TPS73718DCQR	Active	Production	SOT-223 (DCQ) | 6	2500 | LARGE T&R	Yes	NIPDAU	Level-2-260C-1 YEAR	-40 to 125	TPS73718
TPS73718DCQR.A	Active	Production	SOT-223 (DCQ) | 6	2500 | LARGE T&R	Yes	NIPDAU	Level-2-260C-1 YEAR	-40 to 125	TPS73718
TPS73718DCQRG4	Active	Production	SOT-223 (DCQ) | 6	2500 | LARGE T&R	Yes	NIPDAU	Level-2-260C-1 YEAR	-40 to 125	TPS73718
TPS73718DCQRG4.A	Active	Production	SOT-223 (DCQ) | 6	2500 | LARGE T&R	Yes	NIPDAU	Level-2-260C-1 YEAR	-40 to 125	TPS73718
TPS73718DRBR	Active	Production	SON (DRB) | 8	3000 | LARGE T&R	Yes	NIPDAU	Level-2-260C-1 YEAR	-40 to 125	RAL
TPS73718DRBR.A	Active	Production	SON (DRB) | 8	3000 | LARGE T&R	Yes	NIPDAU	Level-2-260C-1 YEAR	-40 to 125	RAL

Orderable part number	Status (1)	Material type (2)	Package | Pins	Package qty | Carrier	RoHS (3)	Lead finish/ Ball material (4)	MSL rating/ Peak reflow (5)	Op temp (°C)	Part marking (6)
TPS73718DRBRM3	Active	Production	SON (DRB) | 8	3000 | LARGE T&R	Yes	NIPDAU	Level-1-260C-UNLIM	-40 to 125	RAL
TPS73718DRBRM3.A	Active	Production	SON (DRB) | 8	3000 | LARGE T&R	Yes	NIPDAU	Level-1-260C-UNLIM	-40 to 125	RAL
TPS73718DRBT	Obsolete	Production	SON (DRB) | 8	-	-	Call TI	Call TI	-40 to 125	RAL
TPS73725DCQ	Obsolete	Production	SOT-223 (DCQ) | 6	-	-	Call TI	Call TI	-40 to 125	TPS73725
TPS73725DCQR	Active	Production	SOT-223 (DCQ) | 6	2500 | LARGE T&R	Yes	NIPDAU | SN	Level-2-260C-1 YEAR	-40 to 125	TPS73725
TPS73725DCQR.A	Active	Production	SOT-223 (DCQ) | 6	2500 | LARGE T&R	Yes	SN	Level-2-260C-1 YEAR	-40 to 125	TPS73725
TPS73725DCQRM3	Active	Production	SOT-223 (DCQ) | 6	2500 | LARGE T&R	Yes	NIPDAU	Level-2-260C-1 YEAR	-40 to 125	TPS73725
TPS73725DCQRM3.A	Active	Production	SOT-223 (DCQ) | 6	2500 | LARGE T&R	Yes	NIPDAU	Level-2-260C-1 YEAR	-40 to 125	TPS73725
TPS73730DRBR	Active	Production	SON (DRB) | 8	3000 | LARGE T&R	Yes	NIPDAU	Level-1-260C-UNLIM	-40 to 125	CVT
TPS73730DRBR.A	Active	Production	SON (DRB) | 8	3000 | LARGE T&R	Yes	NIPDAU	Level-1-260C-UNLIM	-40 to 125	CVT
TPS73730DRBRM3	Active	Production	SON (DRB) | 8	3000 | LARGE T&R	Yes	NIPDAU	Level-1-260C-UNLIM	-40 to 125	CVT
TPS73730DRBRM3.A	Active	Production	SON (DRB) | 8	3000 | LARGE T&R	Yes	NIPDAU	Level-1-260C-UNLIM	-40 to 125	CVT
TPS73730DRBT	Obsolete	Production	SON (DRB) | 8	-	-	Call TI	Call TI	-40 to 125	CVT
TPS73733DCQ	Active	Production	SOT-223 (DCQ) | 6	78 | TUBE	Yes	SN	Level-2-260C-1 YEAR	-40 to 125	TPS73733
TPS73733DCQ.A	Active	Production	SOT-223 (DCQ) | 6	78 | TUBE	Yes	SN	Level-2-260C-1 YEAR	-40 to 125	TPS73733
TPS73733DCQG4	Active	Production	SOT-223 (DCQ) | 6	78 | TUBE	Yes	NIPDAU	Level-2-260C-1 YEAR	-40 to 125	TPS73733
TPS73733DCQG4.A	Active	Production	SOT-223 (DCQ) | 6	78 | TUBE	Yes	NIPDAU	Level-2-260C-1 YEAR	-40 to 125	TPS73733
TPS73733DCQR	Active	Production	SOT-223 (DCQ) | 6	2500 | LARGE T&R	Yes	NIPDAU | SN	Level-2-260C-1 YEAR	-40 to 125	TPS73733
TPS73733DCQR.A	Active	Production	SOT-223 (DCQ) | 6	2500 | LARGE T&R	Yes	SN	Level-2-260C-1 YEAR	-40 to 125	TPS73733
TPS73733DCQRG4	Active	Production	SOT-223 (DCQ) | 6	2500 | LARGE T&R	Yes	NIPDAU	Level-2-260C-1 YEAR	-40 to 125	TPS73733
TPS73733DCQRG4.A	Active	Production	SOT-223 (DCQ) | 6	2500 | LARGE T&R	Yes	NIPDAU	Level-2-260C-1 YEAR	-40 to 125	TPS73733
TPS73733DCQRM3	Active	Production	SOT-223 (DCQ) | 6	2500 | LARGE T&R	Yes	NIPDAU	Level-2-260C-1 YEAR	-40 to 125	TPS73733
TPS73733DCQRM3.A	Active	Production	SOT-223 (DCQ) | 6	2500 | LARGE T&R	Yes	NIPDAU	Level-2-260C-1 YEAR	-40 to 125	TPS73733
TPS73733DRVR	Active	Production	WSON (DRV) | 6	3000 | LARGE T&R	Yes	NIPDAU	Level-2-260C-1 YEAR	-40 to 125	SIJ
TPS73733DRVR.A	Active	Production	WSON (DRV) | 6	3000 | LARGE T&R	Yes	NIPDAU	Level-2-260C-1 YEAR	-40 to 125	SIJ
TPS73733DRVRM3	Active	Production	WSON (DRV) | 6	3000 | LARGE T&R	Yes	NIPDAU	Level-1-260C-UNLIM	-40 to 125	SIJ
TPS73734DCQ	Active	Production	SOT-223 (DCQ) | 6	78 | TUBE	Yes	NIPDAU	Level-2-260C-1 YEAR	-40 to 125	OCH
TPS73734DCQ.A	Active	Production	SOT-223 (DCQ) | 6	78 | TUBE	Yes	NIPDAU	Level-2-260C-1 YEAR	-40 to 125	OCH
TPS73734DCQR	Active	Production	SOT-223 (DCQ) | 6	2500 | LARGE T&R	Yes	NIPDAU	Level-2-260C-1 YEAR	-40 to 125	OCH
TPS73734DCQR.A	Active	Production	SOT-223 (DCQ) | 6	2500 | LARGE T&R	Yes	NIPDAU	Level-2-260C-1 YEAR	-40 to 125	OCH

(1) **Status:** For more details on status, see our product life cycle.

(2) **Material type:** When designated, preproduction parts are prototypes/experimental devices, and are not yet approved or released for full production. Testing and final process, including without limitation quality assurance, reliability performance testing, and/or process qualification, may not yet be complete, and this item is subject to further changes or possible discontinuation. If available for ordering, purchases will be subject to an additional waiver at checkout, and are intended for early internal evaluation purposes only. These items are sold without warranties of any kind.

(3) **RoHS values:** Yes, No, RoHS Exempt. See the TI RoHS Statement for additional information and value definition.

(4) **Lead finish/Ball material:** Parts may have multiple material finish options. Finish options are separated by a vertical ruled line. Lead finish/Ball material values may wrap to two lines if the finish value exceeds the maximum column width.

(5) **MSL rating/Peak reflow:** The moisture sensitivity level ratings and peak solder (reflow) temperatures. In the event that a part has multiple moisture sensitivity ratings, only the lowest level per JEDEC standards is shown. Refer to the shipping label for the actual reflow temperature that will be used to mount the part to the printed circuit board.

(6) **Part marking:** There may be an additional marking, which relates to the logo, the lot trace code information, or the environmental category of the part.

Multiple part markings will be inside parentheses. Only one part marking contained in parentheses and separated by a "~" will appear on a part. If a line is indented then it is a continuation of the previous line and the two combined represent the entire part marking for that device.

Important Information and Disclaimer: The information provided on this page represents TI's knowledge and belief as of the date that it is provided. TI bases its knowledge and belief on information provided by third parties, and makes no representation or warranty as to the accuracy of such information. Efforts are underway to better integrate information from third parties. TI has taken and continues to take reasonable steps to provide representative and accurate information but may not have conducted destructive testing or chemical analysis on incoming materials and chemicals. TI and TI suppliers consider certain information to be proprietary, and thus CAS numbers and other limited information may not be available for release.

In no event shall TI's liability arising out of such information exceed the total purchase price of the TI part(s) at issue in this document sold by TI to Customer on an annual basis.

OTHER QUALIFIED VERSIONS OF TPS737 :

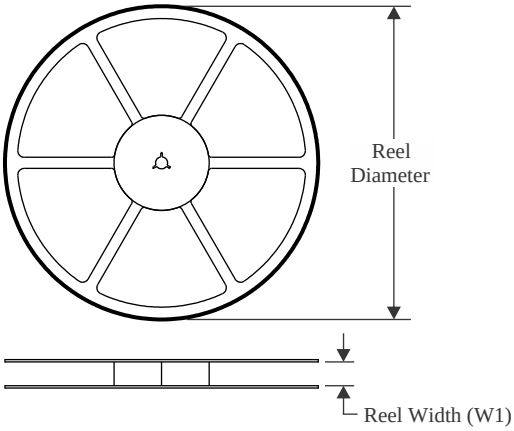
- Automotive : TPS737-Q1

NOTE: Qualified Version Definitions:

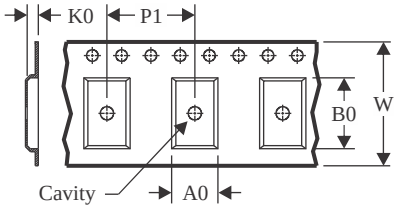
- Automotive - Q100 devices qualified for high-reliability automotive applications targeting zero defects

TAPE AND REEL INFORMATION

REEL DIMENSIONS

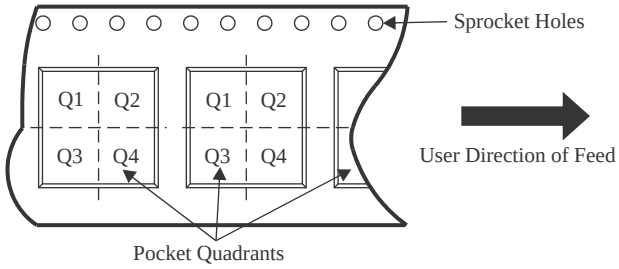


TAPE DIMENSIONS



A0	Dimension designed to accommodate the component width
B0	Dimension designed to accommodate the component length
K0	Dimension designed to accommodate the component thickness
W	Overall width of the carrier tape
P1	Pitch between successive cavity centers

QUADRANT ASSIGNMENTS FOR PIN 1 ORIENTATION IN TAPE

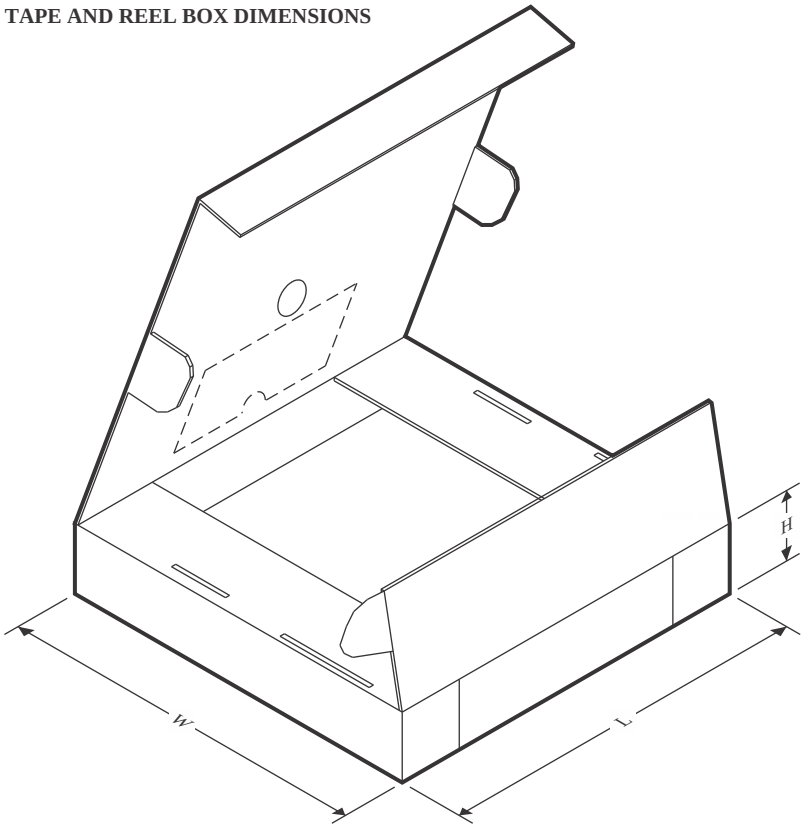


*All dimensions are nominal

Device	Package Type	Package Drawing	Pins	SPQ	Reel Diameter (mm)	Reel Width W1 (mm)	A0 (mm)	B0 (mm)	K0 (mm)	P1 (mm)	W (mm)	Pin1 Quadrant
TPS73701DCQR	SOT-223	DCQ	6	2500	330.0	12.4	7.05	7.4	1.9	8.0	12.0	Q3
TPS73701DCQRG4	SOT-223	DCQ	6	2500	330.0	12.4	7.05	7.4	1.9	8.0	12.0	Q3
TPS73701DCQRM3	SOT-223	DCQ	6	2500	330.0	12.4	7.05	7.4	1.9	8.0	12.0	Q3
TPS73701DRBR	SON	DRB	8	3000	330.0	12.4	3.3	3.3	1.1	8.0	12.0	Q2
TPS73701DRBRM3	SON	DRB	8	3000	330.0	12.4	3.3	3.3	1.1	8.0	12.0	Q2
TPS73701DRBT	SON	DRB	8	250	180.0	12.4	3.3	3.3	1.1	8.0	12.0	Q2
TPS73701DRVR	WSON	DRV	6	3000	179.0	8.4	2.2	2.2	1.2	4.0	8.0	Q2
TPS73701DRVRM3	WSON	DRV	6	3000	180.0	8.4	2.3	2.3	1.15	4.0	8.0	Q2
TPS73701DRVT	WSON	DRV	6	250	179.0	8.4	2.2	2.2	1.2	4.0	8.0	Q2
TPS73718DCQR	SOT-223	DCQ	6	2500	330.0	12.4	7.05	7.4	1.9	8.0	12.0	Q3
TPS73718DCQRG4	SOT-223	DCQ	6	2500	330.0	12.4	7.1	7.45	1.88	8.0	12.0	Q3
TPS73718DRBR	SON	DRB	8	3000	330.0	12.4	3.3	3.3	1.1	8.0	12.0	Q2
TPS73718DRBRM3	SON	DRB	8	3000	330.0	12.4	3.3	3.3	1.1	8.0	12.0	Q2
TPS73725DCQR	SOT-223	DCQ	6	2500	330.0	12.4	7.05	7.4	1.9	8.0	12.0	Q3
TPS73725DCQRM3	SOT-223	DCQ	6	2500	330.0	12.4	7.05	7.4	1.9	8.0	12.0	Q3
TPS73730DRBR	SON	DRB	8	3000	330.0	12.4	3.3	3.3	1.1	8.0	12.0	Q2

Device	Package Type	Package Drawing	Pins	SPQ	Reel Diameter (mm)	Reel Width W1 (mm)	A0 (mm)	B0 (mm)	K0 (mm)	P1 (mm)	W (mm)	Pin1 Quadrant
TPS73730DRBRM3	SON	DRB	8	3000	330.0	12.4	3.3	3.3	1.1	8.0	12.0	Q2
TPS73733DCQR	SOT-223	DCQ	6	2500	330.0	12.4	7.05	7.4	1.9	8.0	12.0	Q3
TPS73733DCQRG4	SOT-223	DCQ	6	2500	330.0	12.4	7.1	7.45	1.88	8.0	12.0	Q3
TPS73733DCQRM3	SOT-223	DCQ	6	2500	330.0	12.4	7.05	7.4	1.9	8.0	12.0	Q3
TPS73733DRVR	WSON	DRV	6	3000	179.0	8.4	2.2	2.2	1.2	4.0	8.0	Q2
TPS73733DRVRM3	WSON	DRV	6	3000	180.0	8.4	2.3	2.3	1.15	4.0	8.0	Q2
TPS73734DCQR	SOT-223	DCQ	6	2500	330.0	12.4	7.1	7.45	1.88	8.0	12.0	Q3

TAPE AND REEL BOX DIMENSIONS

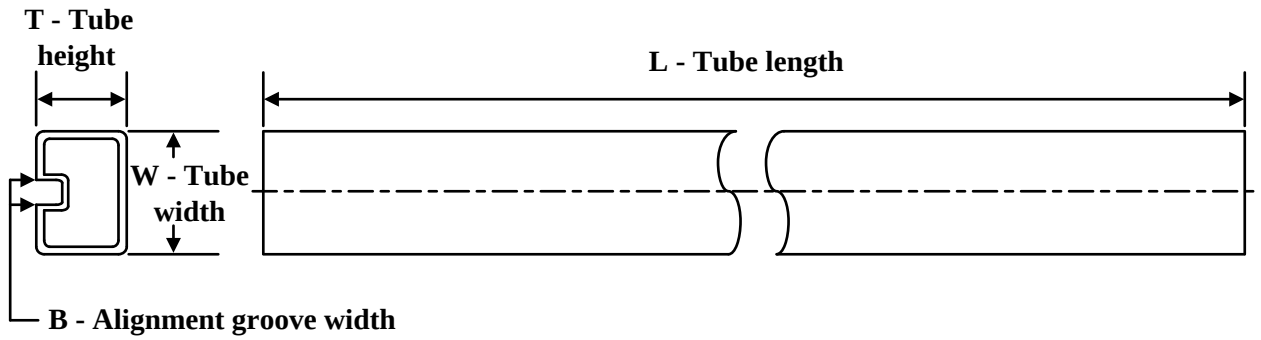


*All dimensions are nominal

Device	Package Type	Package Drawing	Pins	SPQ	Length (mm)	Width (mm)	Height (mm)
TPS73701DCQR	SOT-223	DCQ	6	2500	366.0	364.0	50.0
TPS73701DCQRG4	SOT-223	DCQ	6	2500	366.0	364.0	50.0
TPS73701DCQRM3	SOT-223	DCQ	6	2500	366.0	364.0	50.0
TPS73701DRBR	SON	DRB	8	3000	360.0	360.0	36.0
TPS73701DRBRM3	SON	DRB	8	3000	367.0	367.0	35.0
TPS73701DRBT	SON	DRB	8	250	210.0	185.0	35.0
TPS73701DRVR	WSON	DRV	6	3000	213.0	191.0	35.0
TPS73701DRVRM3	WSON	DRV	6	3000	210.0	185.0	35.0
TPS73701DRVT	WSON	DRV	6	250	213.0	191.0	35.0
TPS73718DCQR	SOT-223	DCQ	6	2500	366.0	364.0	50.0
TPS73718DCQRG4	SOT-223	DCQ	6	2500	346.0	346.0	29.0
TPS73718DRBR	SON	DRB	8	3000	360.0	360.0	36.0
TPS73718DRBRM3	SON	DRB	8	3000	367.0	367.0	35.0
TPS73725DCQR	SOT-223	DCQ	6	2500	366.0	364.0	50.0
TPS73725DCQRM3	SOT-223	DCQ	6	2500	366.0	364.0	50.0
TPS73730DRBR	SON	DRB	8	3000	360.0	360.0	36.0
TPS73730DRBRM3	SON	DRB	8	3000	367.0	367.0	35.0
TPS73733DCQR	SOT-223	DCQ	6	2500	366.0	364.0	50.0

Device	Package Type	Package Drawing	Pins	SPQ	Length (mm)	Width (mm)	Height (mm)
TPS73733DCQRG4	SOT-223	DCQ	6	2500	346.0	346.0	41.0
TPS73733DCQRM3	SOT-223	DCQ	6	2500	366.0	364.0	50.0
TPS73733DRVR	WSON	DRV	6	3000	213.0	191.0	35.0
TPS73733DRVRM3	WSON	DRV	6	3000	210.0	185.0	35.0
TPS73734DCQR	SOT-223	DCQ	6	2500	346.0	346.0	41.0

TUBE



*All dimensions are nominal

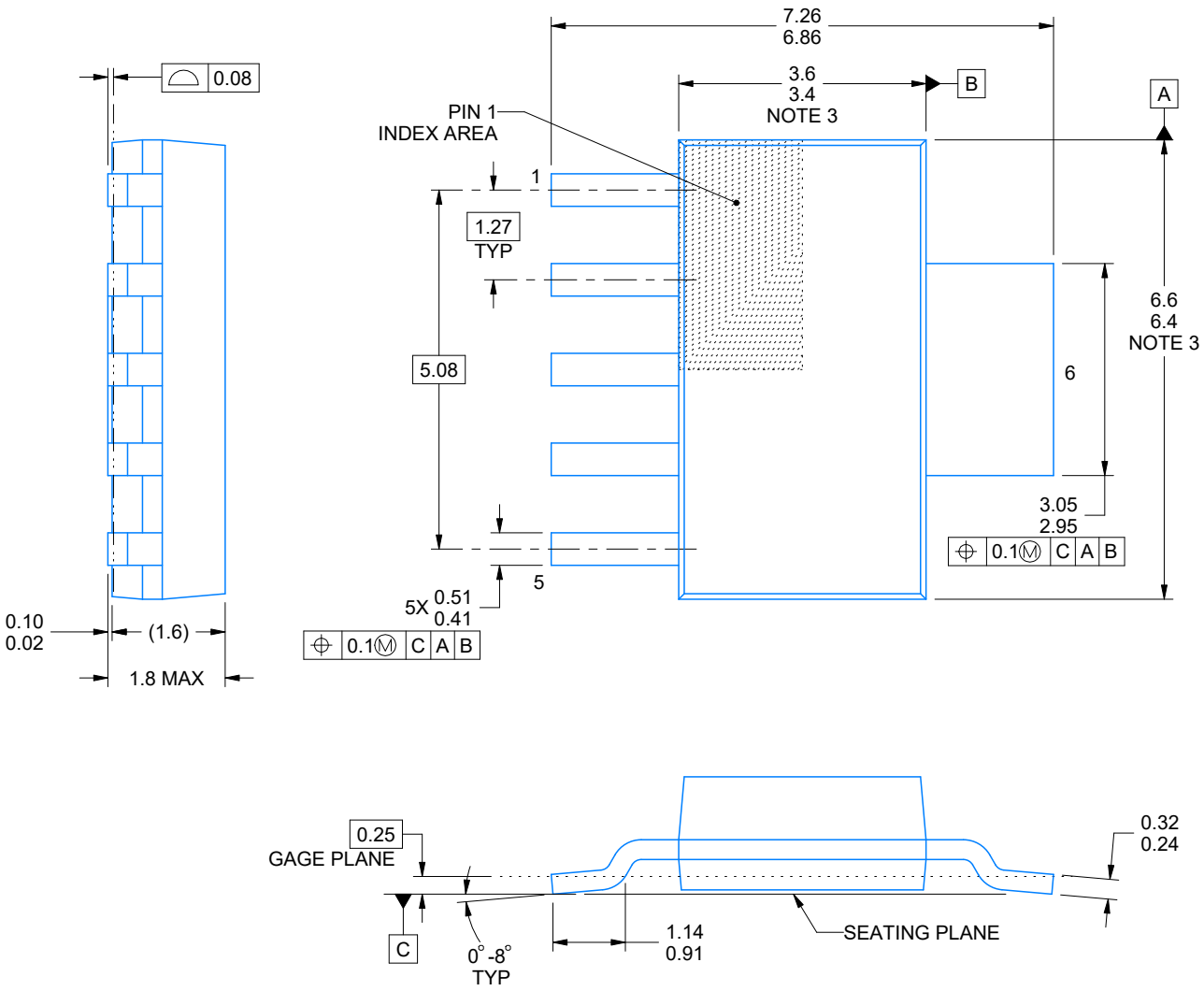
Device	Package Name	Package Type	Pins	SPQ	L (mm)	W (mm)	T (µm)	B (mm)
TPS73701DCQ	DCQ	SOT-223	6	78	543	8.6	3606.8	2.67
TPS73701DCQ.A	DCQ	SOT-223	6	78	543	8.6	3606.8	2.67
TPS73701DCQG4	DCQ	SOT-223	6	78	532.13	8.63	3.6	3.68
TPS73701DCQG4.A	DCQ	SOT-223	6	78	532.13	8.63	3.6	3.68
TPS73718DCQ	DCQ	SOT-223	6	78	543	8.6	3606.8	2.67
TPS73718DCQ.A	DCQ	SOT-223	6	78	543	8.6	3606.8	2.67
TPS73733DCQ	DCQ	SOT-223	6	78	543	8.6	3606.8	2.67
TPS73733DCQ.A	DCQ	SOT-223	6	78	543	8.6	3606.8	2.67
TPS73733DCQG4	DCQ	SOT-223	6	78	532.13	8.63	3.6	3.68
TPS73733DCQG4.A	DCQ	SOT-223	6	78	532.13	8.63	3.6	3.68
TPS73734DCQ	DCQ	SOT-223	6	78	532.13	8.63	3.6	3.68
TPS73734DCQ.A	DCQ	SOT-223	6	78	532.13	8.63	3.6	3.68

PACKAGE OUTLINE

DCQ0006A

SOT - 1.8 mm max height

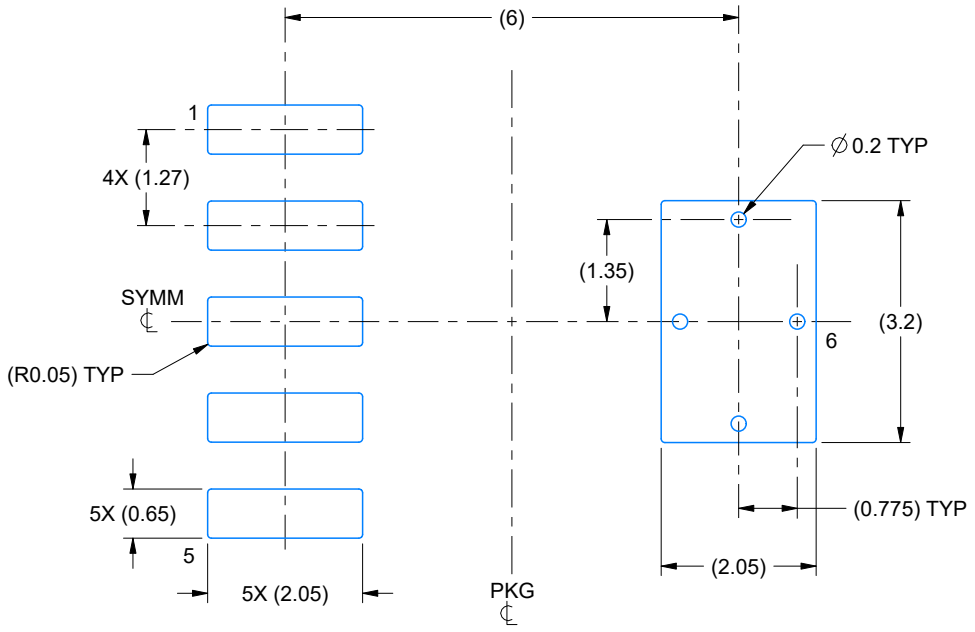
PLASTIC SMALL OUTLINE



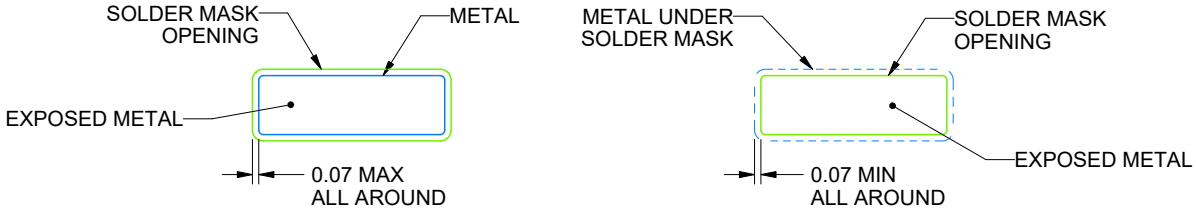
4214845/C 11/2021

NOTES:

1. All linear dimensions are in millimeters. Any dimensions in parenthesis are for reference only. Dimensioning and tolerancing per ASME Y14.5M.
2. This drawing is subject to change without notice.
3. This dimension does not include mold flash, protrusions, or gate burrs. Mold flash, protrusions, or gate burrs shall not exceed 0.15 mm per side.



LAND PATTERN EXAMPLE
EXPOSED METAL SHOWN
SCALE: 10X

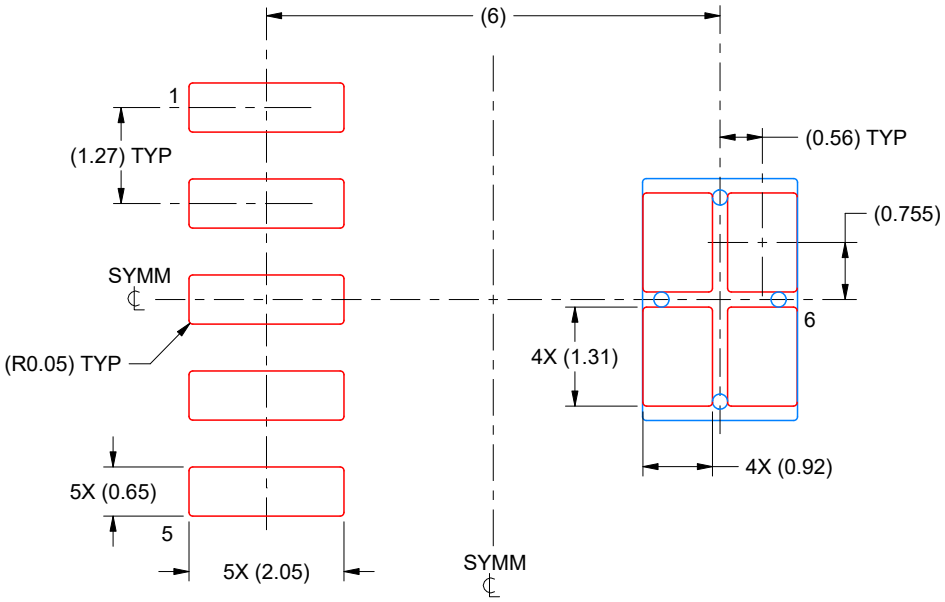


SOLDER MASK DETAILS

4214845/C 11/2021

NOTES: (continued)

4. Publication IPC-7351 may have alternate designs.
5. Solder mask tolerances between and around signal pads can vary based on board fabrication site.
6. Vias are optional depending on application, refer to device data sheet. If any vias are implemented, refer to their locations shown on this view. It is recommended that vias under paste be filled, plugged or tented.



SOLDER PASTE EXAMPLE
BASED ON 0.125 mm THICK STENCIL
SCALE: 10X

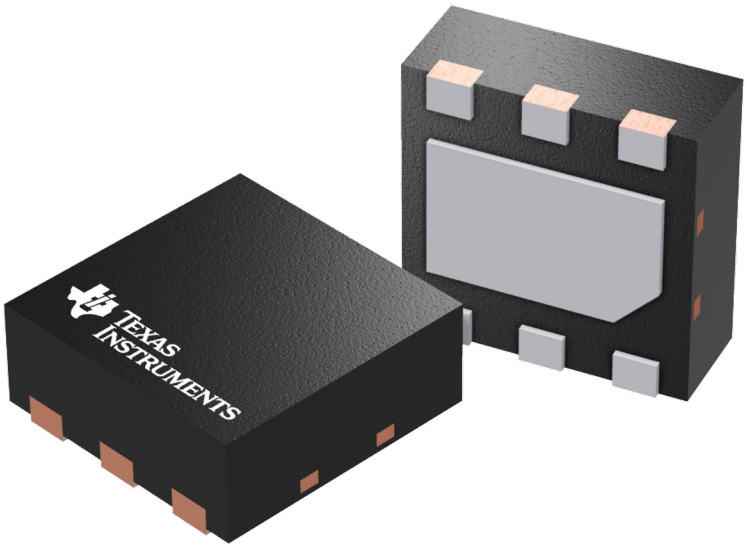
4214845/C 11/2021

NOTES: (continued)

7. Laser cutting apertures with trapezoidal walls and rounded corners may offer better paste release. IPC-7525 may have alternate design recommendations.
8. Board assembly site may have different recommendations for stencil design.

DRV 6 WSON - 0.8 mm max height

PLASTIC SMALL OUTLINE - NO LEAD



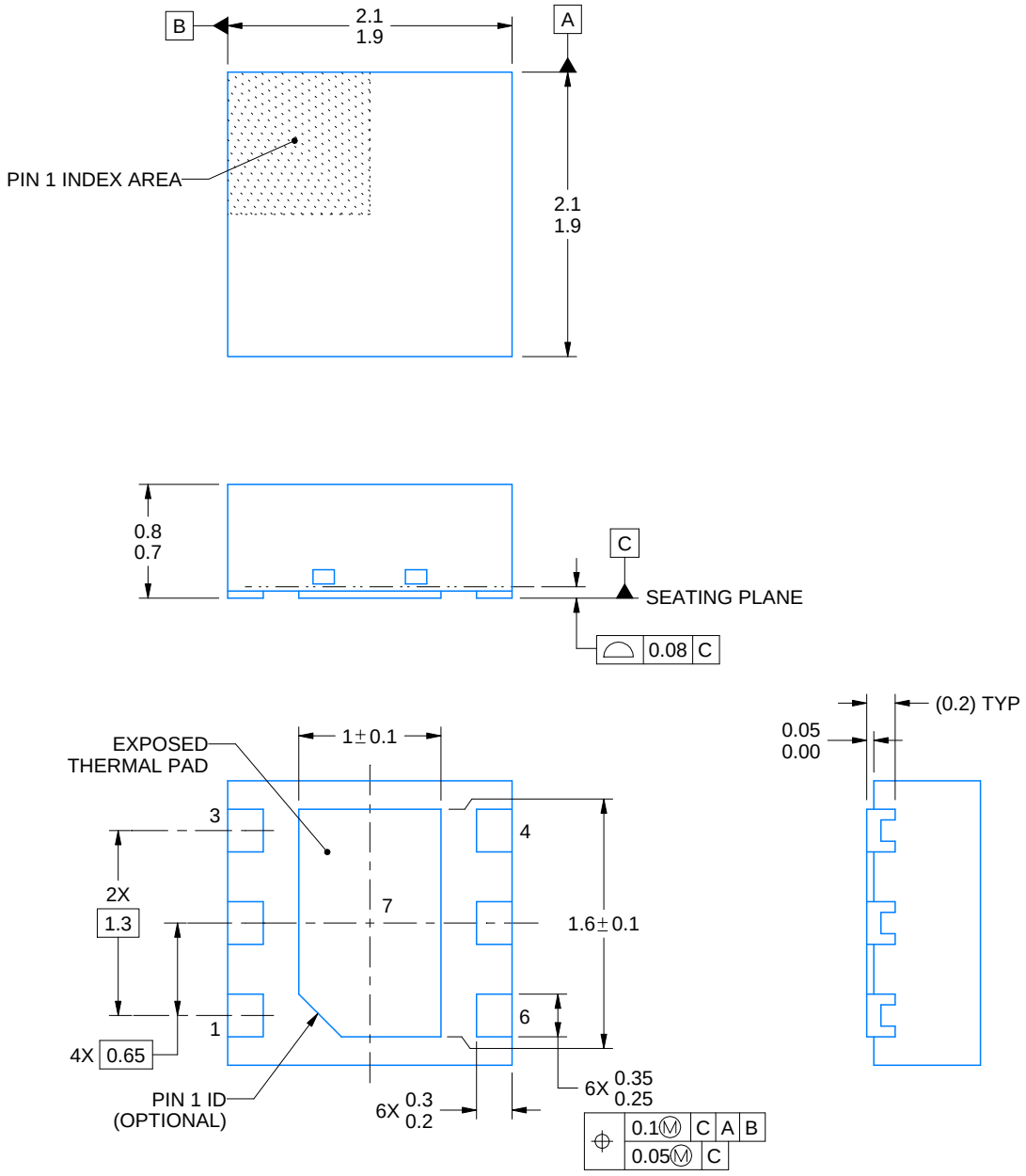
Images above are just a representation of the package family, actual package may vary.
Refer to the product data sheet for package details.

DRV0006D

PACKAGE OUTLINE

WSON - 0.8 mm max height

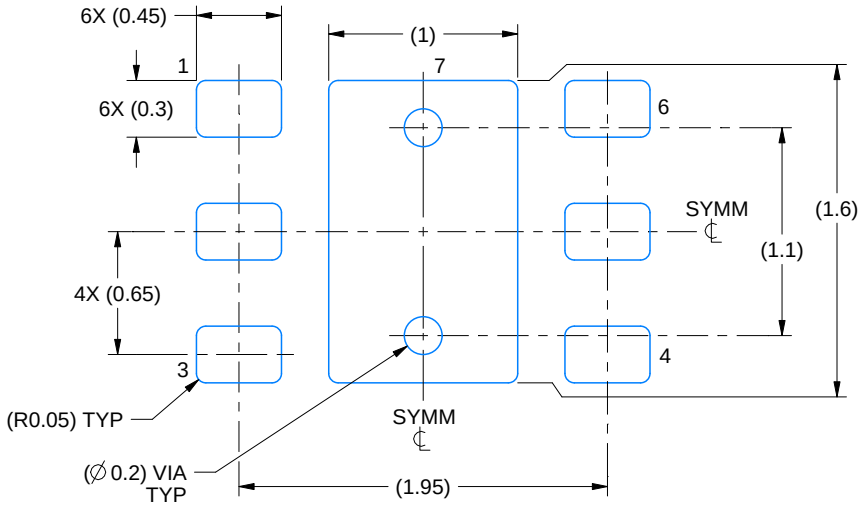
PLASTIC SMALL OUTLINE - NO LEAD



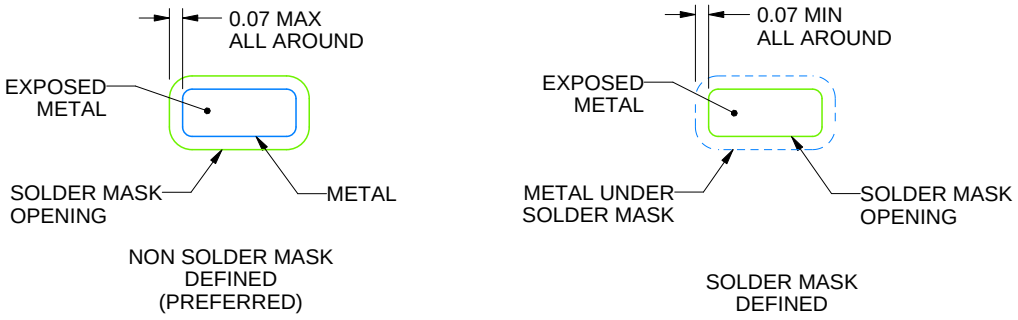
4225563/A 12/2019

NOTES:

1. All linear dimensions are in millimeters. Any dimensions in parenthesis are for reference only. Dimensioning and tolerancing per ASME Y14.5M.
2. This drawing is subject to change without notice.
3. The package thermal pad must be soldered to the printed circuit board for thermal and mechanical performance.



LAND PATTERN EXAMPLE
EXPOSED METAL SHOWN
SCALE:25X

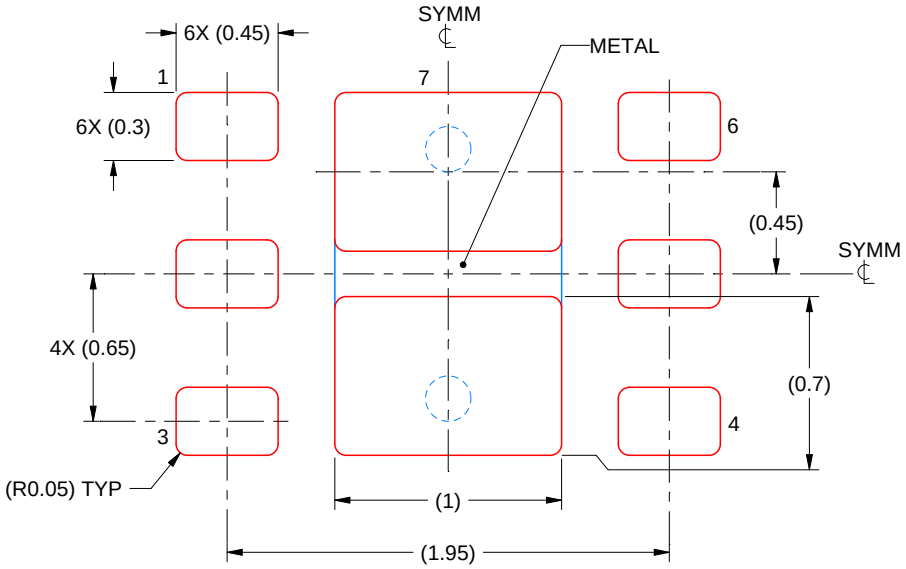


SOLDER MASK DETAILS

4225563/A 12/2019

NOTES: (continued)

4. This package is designed to be soldered to a thermal pad on the board. For more information, see Texas Instruments literature number SLUA271 (www.ti.com/lit/slua271).
5. Vias are optional depending on application, refer to device data sheet. If some or all are implemented, recommended via locations are shown.



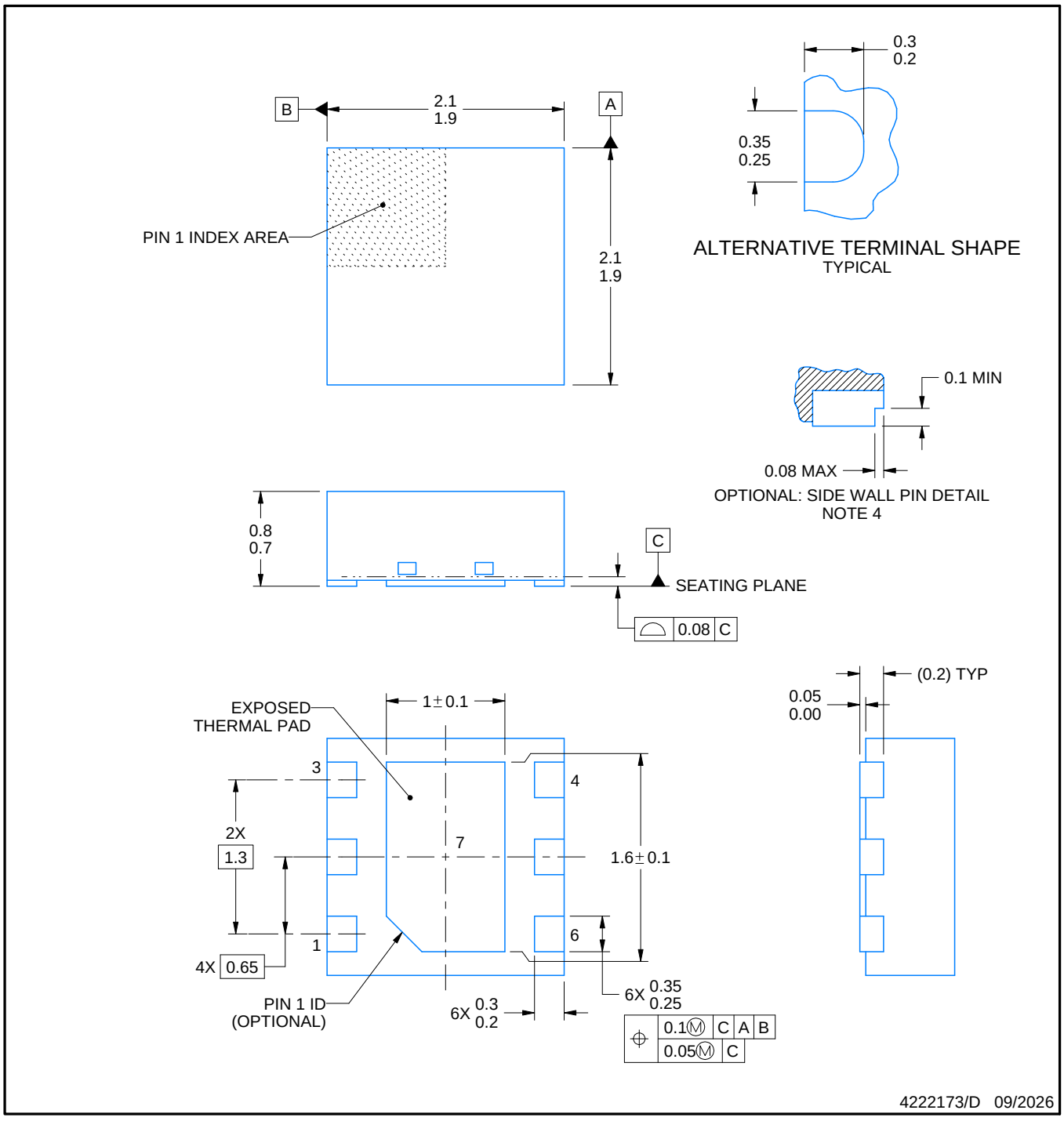
SOLDER PASTE EXAMPLE
BASED ON 0.125 mm THICK STENCIL

EXPOSED PAD #7
88% PRINTED SOLDER COVERAGE BY AREA UNDER PACKAGE
SCALE:30X

4225563/A 12/2019

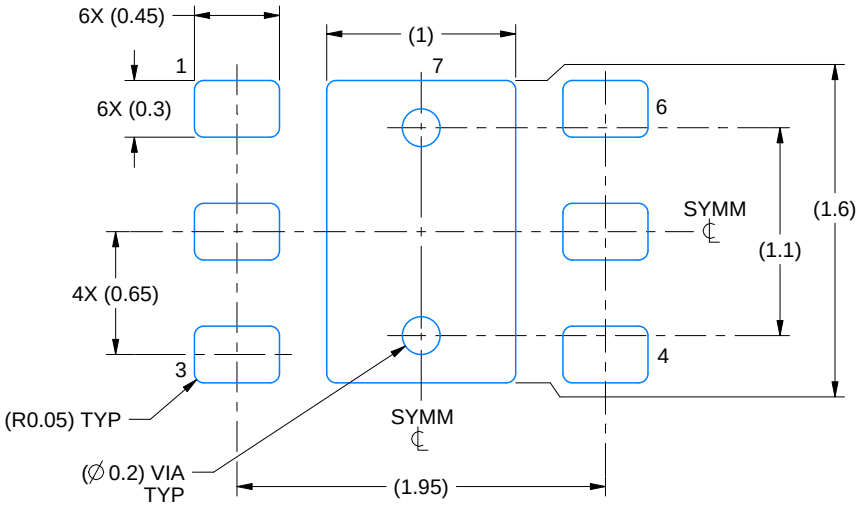
NOTES: (continued)

6. Laser cutting apertures with trapezoidal walls and rounded corners may offer better paste release. IPC-7525 may have alternate design recommendations.

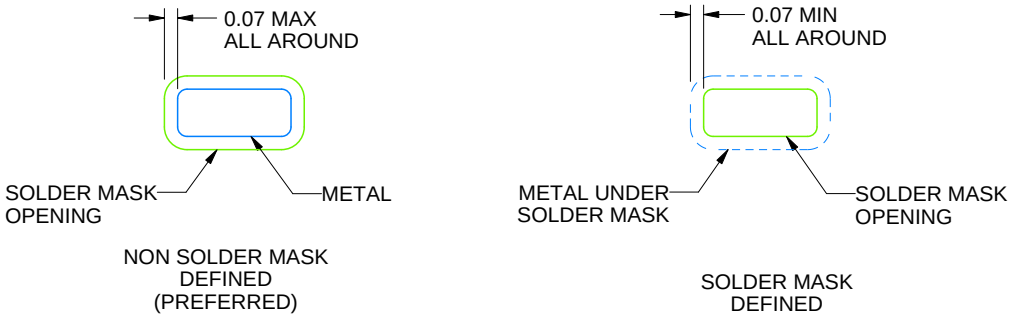


NOTES:

1. All linear dimensions are in millimeters. Any dimensions in parenthesis are for reference only. Dimensioning and tolerancing per ASME Y14.5M.
2. This drawing is subject to change without notice.
3. The package thermal pad must be soldered to the printed circuit board for thermal and mechanical performance.
4. Minimum 0.1 mm solder wetting on pin side wall. Available for wettable flank version only.



LAND PATTERN EXAMPLE
SCALE:25X

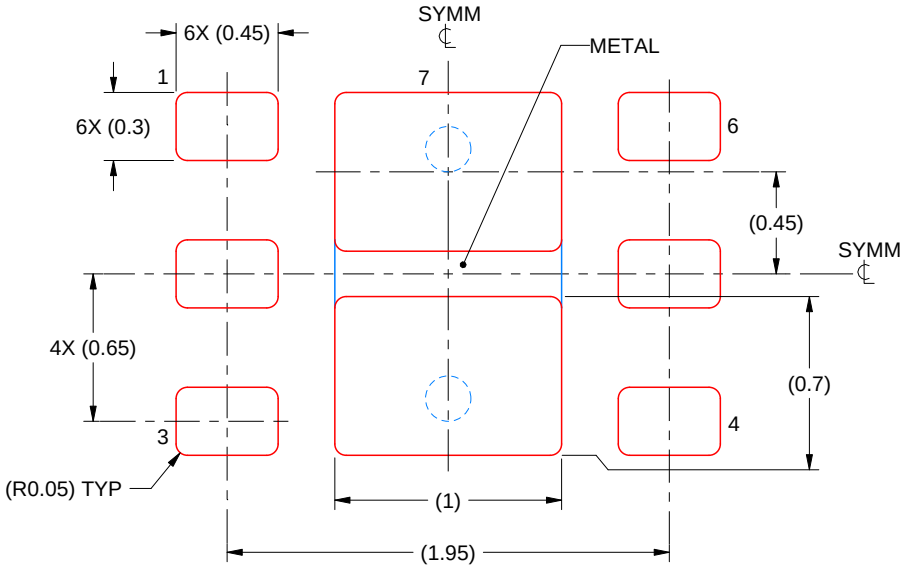


SOLDER MASK DETAILS

4222173/D 09/2026

NOTES: (continued)

5. This package is designed to be soldered to a thermal pad on the board. For more information, see Texas Instruments literature number SLUA271 (www.ti.com/lit/slua271).
6. Vias are optional depending on application, refer to device data sheet. If some or all are implemented, recommended via locations are shown.



SOLDER PASTE EXAMPLE
BASED ON 0.125 mm THICK STENCIL

EXPOSED PAD #7
88% PRINTED SOLDER COVERAGE BY AREA UNDER PACKAGE
SCALE:30X

4222173/D 09/2026

NOTES: (continued)

7. Laser cutting apertures with trapezoidal walls and rounded corners may offer better paste release. IPC-7525 may have alternate design recommendations.

GENERIC PACKAGE VIEW

DRB 8

VSON - 1 mm max height

PLASTIC SMALL OUTLINE - NO LEAD



Images above are just a representation of the package family, actual package may vary.
Refer to the product data sheet for package details.

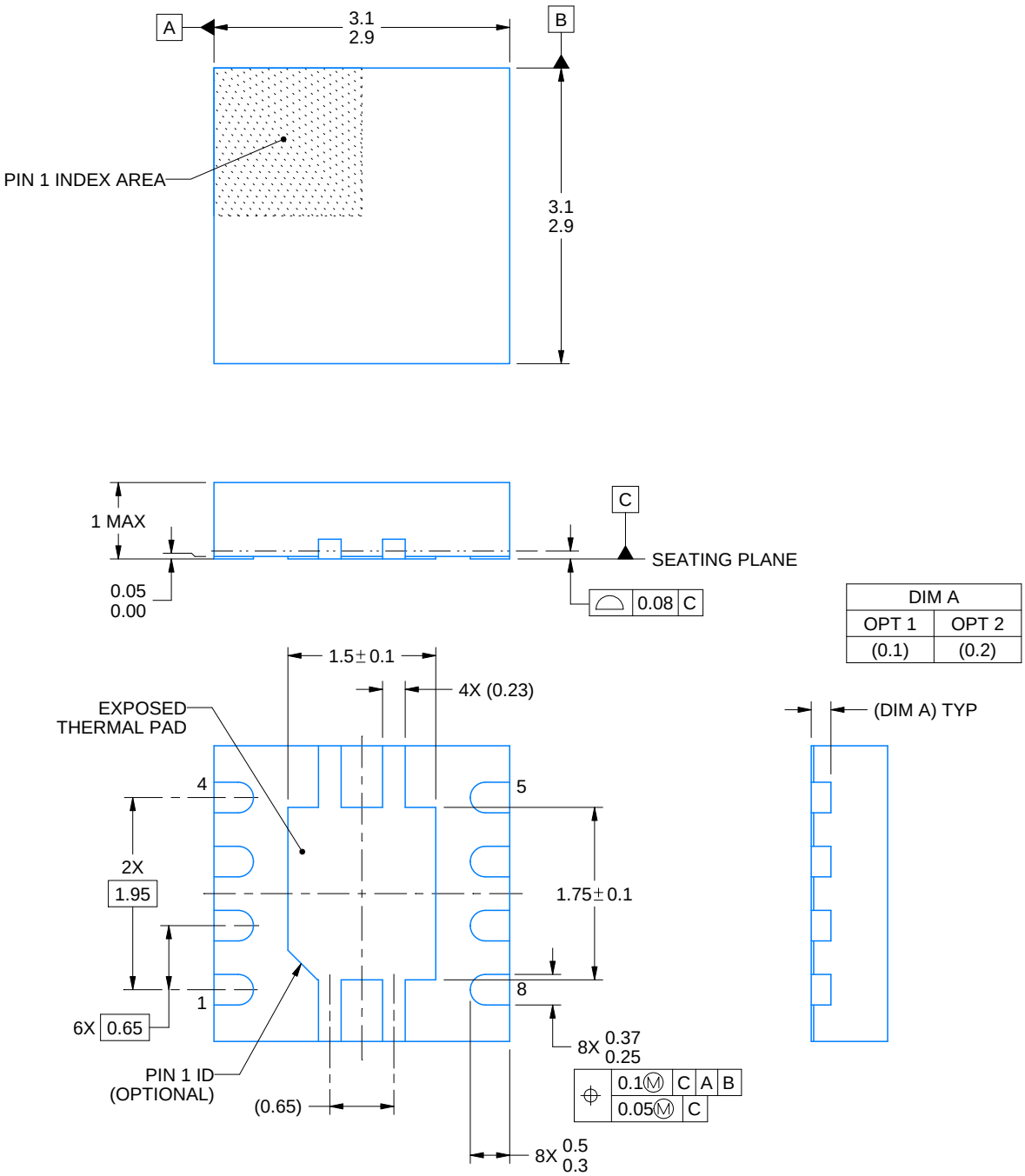
4203482/L

PACKAGE OUTLINE

DRB0008A

VSON - 1 mm max height

PLASTIC SMALL OUTLINE - NO LEAD



NOTES:

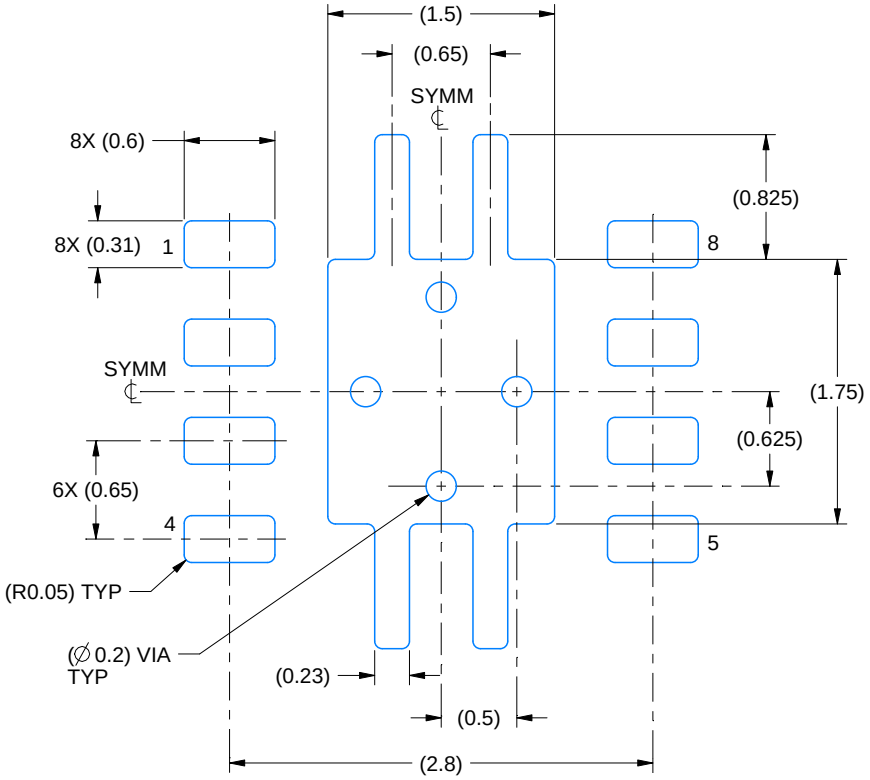
1. All linear dimensions are in millimeters. Any dimensions in parenthesis are for reference only. Dimensioning and tolerancing per ASME Y14.5M.
2. This drawing is subject to change without notice.
3. The package thermal pad must be soldered to the printed circuit board for thermal and mechanical performance.

EXAMPLE BOARD LAYOUT

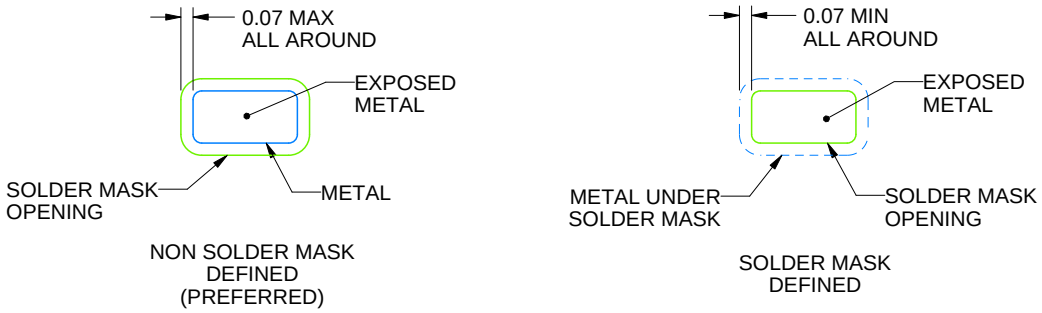
DRB0008A

VSON - 1 mm max height

PLASTIC SMALL OUTLINE - NO LEAD



LAND PATTERN EXAMPLE
EXPOSED METAL SHOWN
SCALE:20X

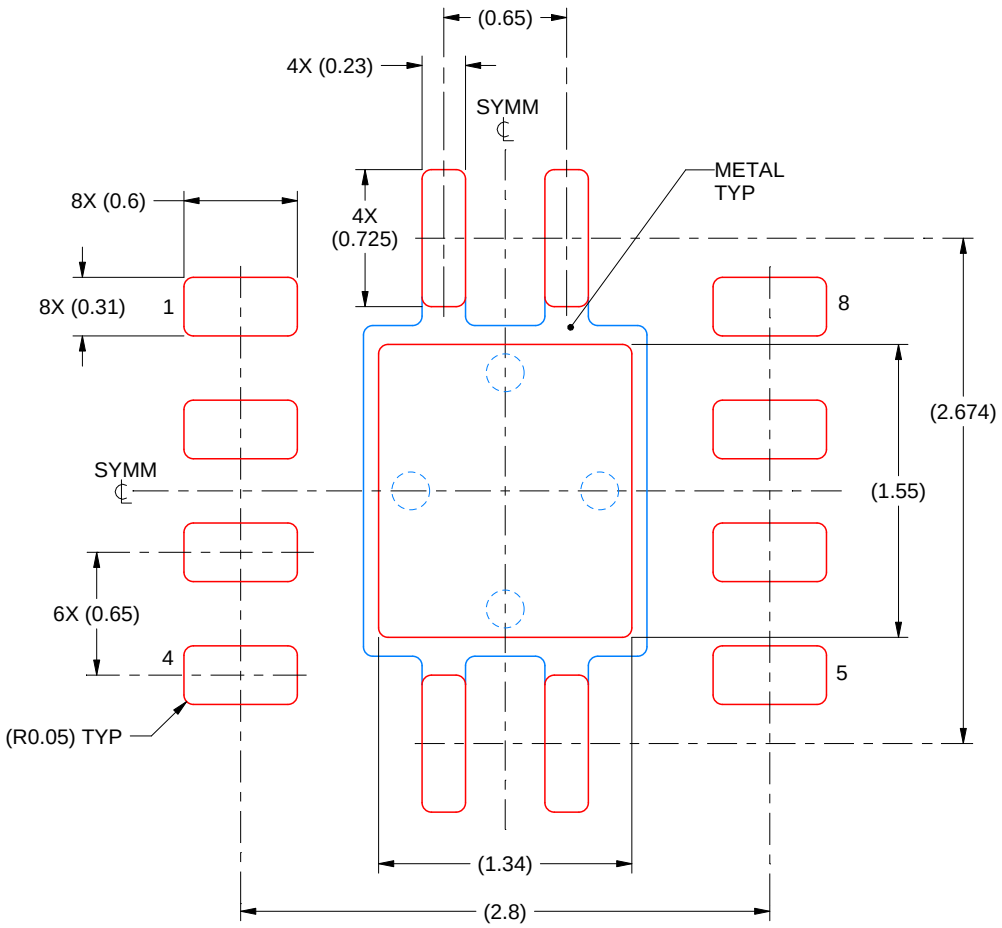


SOLDER MASK DETAILS

4218875/A 01/2018

NOTES: (continued)

4. This package is designed to be soldered to a thermal pad on the board. For more information, see Texas Instruments literature number SLUA271 (www.ti.com/lit/slua271).
5. Vias are optional depending on application, refer to device data sheet. If any vias are implemented, refer to their locations shown on this view. It is recommended that vias under paste be filled, plugged or tented.



SOLDER PASTE EXAMPLE
BASED ON 0.125 mm THICK STENCIL

EXPOSED PAD
84% PRINTED SOLDER COVERAGE BY AREA
SCALE:25X

4218875/A 01/2018

NOTES: (continued)

6. Laser cutting apertures with trapezoidal walls and rounded corners may offer better paste release. IPC-7525 may have alternate design recommendations.

重要通知和免责声明

TI“按原样”提供技术和可靠性数据（包括数据表）、设计资源（包括参考设计）、应用或其他设计建议、网络工具、安全信息和其他资源，不保证没有瑕疵且不做出任何明示或暗示的担保，包括但不限于对适销性、与某特定用途的适用性或不侵犯任何第三方知识产权的暗示担保。

这些资源可供使用 TI 产品进行设计的熟练开发人员使用。您将自行承担以下全部责任：(1) 针对您的应用选择合适的 TI 产品，(2) 设计、验证并测试您的应用，(3) 确保您的应用满足相应标准以及任何其他安全、安保法规或其他要求。

这些资源如有变更，恕不另行通知。TI 授权您仅可将这些资源用于研发本资源所述的 TI 产品的相关应用。严禁以其他方式对这些资源进行复制或展示。您无权使用任何其他 TI 知识产权或任何第三方知识产权。对于因您对这些资源的使用而对 TI 及其代表造成的任何索赔、损害、成本、损失和债务，您将全额赔偿，TI 对此概不负责。

TI 提供的产品受 TI 销售条款)、TI 通用质量指南 或 ti.com 上其他适用条款或 TI 产品随附的其他适用条款的约束。TI 提供这些资源并不会扩展或以其他方式更改 TI 针对 TI 产品发布的适用的担保或担保免责声明。 除非德州仪器 (TI) 明确将某产品指定为定制产品或客户特定产品，否则其产品均为按确定价格收入目录的标准通用器件。

TI 反对并拒绝您可能提出的任何其他或不同的条款。

版权所有 © 2026，德州仪器 (TI) 公司

最后更新日期：2025 年 10 月